МИНИСТЕРСТВО ОБРАЗОВАНИЯ И НАУКИ РОССИЙСКОЙ ФЕДЕРАЦИИ федеральное государственное бюджетное образовательное учреждение высшего образования

«Тольяттинский государственный университет»

	<u>МАШИНОСТРОЕНИЯ</u>						
	(институт)						
Сварка, обраб	Сварка, обработка материалов давлением и родственные процессы»						
	(кафедра)						
	15.03.01 Машиностроение						
	од и наименование направления подготовки, спе						
<u>профиль «С</u>	Оборудование и технология свароч	ного производства					
	(наименование профиля, специализации						
T	БАКАЛАВРСКАЯ РАБОТ						
₹	погический процесс сварки приемн						
катали	тического коллектора автомобиля	Datsun mi-DO					
Студент(ка)	Новиков К.Ю.						
	(И.О. Фамилия)	(личная подпись)					
Руководитель	Курмаев М.Н.						
•	(И.О. Фамилия)	(личная подпись)					
Консультанты	Виткалов В.Г.						
	(И.О. Фамилия)	(личная подпись)					
	Резникова И.В.						
	(И.О. Фамилия)	(личная подпись)					
	Краснопевцева И.В.						
	(И.О. Фамилия)	(личная подпись)					
Допустить к защі	ите						
Заведующий кафе,	лрой СОМЛиРП						
д.т.н, профессор	apon comamin,	В.В. Ельцов					
д.т.н, профессор	(личная подпись)	В.В. Ельцов					
«»	r.						
	Тольятти 2016						

¹ Бакалаврская работа, дипломная работа, дипломный проект

МИНИСТЕРСТВО ОБРАЗОВАНИЯ И НАУКИ РОССИЙСКОЙ ФЕДЕРАЦИИ федеральное государственное бюджетное образовательное учреждение высшего образования

«Топьяттинский госуларственный университет»

«тольяттинский государст	всиный университет//
МАШИНОСТРО	ЕНИЯ
(институ	yT)
Сварка, обработка материалов давле	ением и родственные процессы
(кафедр	
`	УТВЕРЖДАЮ
	Завкафедрой
	<u>«СОМДиРП</u> »
	В.В. Ельцов
	(подпись) (И.О. Фамилия)
•	«20г.
ЗАДАН	ИЕ
на выполнение бакал	
Студент Новиков Константин Юрьевич	аврской работы
1. Тема Технологический процесс сва	пки приемного фланца с трубками
каталлитического коллектора автомобиля	
2. Срок сдачи студентом законченной выг работы <u>27 июня 2016 г.</u>	тускной квалификационной
-	whywayyayyay nabana Maranyayy
3. Исходные данные к выпускной квал	
преддипломной практики, нормативно-те	хническая литература, материалы из
Internet	× (= =
4. Содержание выпускной квалификацион	нои расоты (перечень подлежащих
разработке вопросов, разделов)	
1. Ведение	
2. Состояние вопроса (описание конструк	2.5
описание базового процесса и его анализ)	
3. Анализ способов сварки приемного фла	
4. Проектная технологический процесс св	
5. Безопасность и экологичность техничес	
6. Экономическая эффективность проекта	
7. Заключение	
5. Ориентировочный перечень графическо	1 1
<u>Чертеж каталитического коллектора – 1 л</u>	
Базовый технологический процесс сварки	кат. коллектора – 3 л.
Выбор способа сварки приемного фланца	
Проектный технологический процесс свар	оки кат. коллектора – 3 л.
Экономическая эффективность проекта –	1 л.
6. Консультанты по разделам	
Экономическая эффективность проекта	Краснопевцева И.В.
Безопасность и экологичность проекта	Резникова И.В.

7. Дата выдачи задания «»	20r.	
Руководитель бакалаврской работы		
		М.Н. Курмаев
	(подпись)	(И.О. Фамилия)
Задание принял к исполнению		К. Ю. Новиков
	(подпись)	(И.О. Фамилия)

МИНИСТЕРСТВО ОБРАЗОВАНИЯ И НАУКИ РОССИЙСКОЙ ФЕДЕРАЦИИ федеральное государственное бюджетное образовательное учреждение высшего образования «Тольяттинский государственный университет»

<u>МАШИНОСТРОЕНИЯ</u>
(институт)
СОМДиРП
(кафедра)
УТВЕРЖДАЮ
Завкафедрой <u>СОМДиРП</u>
<u>В.В. Ельцов</u>
(подпись) (И.О. Фамилия)
КАЛЕНДАРНЫЙ ПЛАН выполнения выпускной квалификационной работы
Студента Новиков Константин Юрьевич
по теме <u>Технологический процесс сварки приемного фланца с</u>
трубками

каталитического коллектора автомобиля Datsun mi-DO

Наименование	Плановый	Фактический	Отметка о	Подпись
раздела работы	срок	срок	выполнении	руководителя
	выполнения	выполнения		
	раздела	раздела		
Введение	01.03.16 по	01.03.16 по		
	13.03.16	13.03.16		
Анализ	21.03.16 по	21.03.16 по		
состояния	21.04.16	21.04.16		
вопроса				
Анализ	22.04.16 по	22.04.16 по		
способов	05.05.16	05.05.16		
сварки				
приемного				
фланца с				
трубками				
Проектная	03.05.16 по	03.05.16 по		
технология	15.05.16.	15.05.16.		
сварки				
приемного				
фланца с				
трубками				
Безопасность и	16.05.16 по	16.05.16 по		

экологичность	15.06.16	15.06.16	
технического			
объекта			
Экономическая	22.04.16 по	22.04.16 по	
эффективность	15.06.16	15.06.16	
проекта			
Заключение по	01.06.16 по	01.06.16 по	
проекту	15.06.16	30.06.16	

Руководитель бакалаврской		
работы		М.Н. Курмаев
	(подпись)	(И.О. Фамилия)
Задание принял к исполнению		К.Ю. Новиков
	(подпись)	(И.О. Фамилия)

АННОТАЦИЯ

Целью работы является повышение производительности за счет снижения доработки после сварки приемного фланца с трубками.

Объем пояснительной записки составляет 56 страниц напечатанного текста. Графическая часть представлена восемью чертежами: коллектор каталитический для автомобиля Datsun mi-DO; анализ способов сварки; экономическая эффективность проекта; базовый технологический процесс сварки приемного фланца с трубками каталитического коллектора; проектный технологический процесс сварки приемного фланца с трубками каталитического коллектора.

Содержание

Введение	10
1. Состояние вопроса	
1.1 Конструкция изделия	12
1.2 Описание материала	14
1.3 Оборудование для сварки	15
1.4 Вспомогательные сварочные материалы	20
1.5 Базовый технологический процесс сварки приемного фланца	с трубками
каталитического коллектора на автомобиль Datsun mi-DO	20
1.6 Анализ базового процесса	28
2. Анализ способов сварки приемного фланца	29
2.1 Способ сварки коротким замыканием	33
2.2 Внедрение сварки плавящимся электродом в среде защи	тных газов
(метод коротких замыканий) для сварки приемного	фланца с
трубками	36
2.3 Проектный технологический процесс сварки приемного	фланца с
трубками каталитического коллектора на автомобиль Datsun mi-De	O40
3. Безопасность и экологичность технического объекта	49
3.1 Технологическая характеристика объекта	49
3.2 Идентификация персональных рисков	51
3.3 Методы и средства снижения профессиональных рисков	52
3.4 Обеспечение пожарной безопасности	54
3.5 Обеспечение экологической безопасности технологического	объекта.60
3.6 Заключение по разделу	61
4. Экономическая эффективность проекта	64
5. Расчет себестоимости сравниваемых вариантов	
6. Расчет показателей экономической эффективности пре	
проекта	

7

7. Расчет снижения трудоемкости и повышения производительности	труда в
проектном варианте	86
Заключение	87
Список использованных источников	88

Введение

Каждый год экологическая обстановка во всех городах нашей земли становится всё более напряженной. Причиной этого становится бурный рост инфраструктуры и увеличение количества различного рода техники на дорогах.

Самый опасный враг для здоровья человека стал выхлопной газ многих типов автомобилей. При работе автомобильных двигателей, происходит сжигание топлива, и выброс в атмосферу смеси газов, что ведёт к загрязнению воздуха. Эти выхлопные газы являются причиной загрязнения воздуха во многих городах. В настоящее время разрабатываются и воплощаются в жизнь проекты по снижению загрязнения атмосферы выбросами двигателей внутреннего сгорания, включающих себя: усовершенствование конструкции двигателей и повышение качества изготовления; разработка устройств, снижающих содержание вредных компонентов в отработавших газах.

Большое распространение получила нейтрализация отработавших газов в системе выпуска. В этом случае токсичные составляющие, вышедшие из цилиндров двигателя, нейтрализуются до выброса их в атмосферу. Выхлопная система- это система очистки отработанных газов. Она включает в себя: выпускной коллектор, каталитический нейтрализатор, глушитель и соединительные трубы. Каталитический нейтрализатор может находится, как в составе выпускного коллектора, так и в составе выпускной системы. На автомобиле с дизельным двигателем в составе выхлопной системы дополнительно находится сажевый фильтр.

Каталитический коллектор самая главная часть выхлопной системы. Является самой дорогой частью, так как содержит блок (керамический или металлический) с нанесенным на его поверхность драгоценных металлов. Его стоимость может зависеть от объемов производства и норм токсичности. Требования к вредным выбросам автомобильной техникой влечет за собой

более уменьшение мощности двигателя за счет современных нейтрализаторов. При изготовлении каталитического коллектора основную высокий уровень доработки сложность вызывает после сварки вольфрамовым неплавящимся электродом приемного фланца с трубками. Ручная доработка приводит к тому, что происходит уменьшение приемного сечения, и как следствие падение мощности двигателя. В связи с этим была сформулирована цель работы:

-повышение производительности за счет снижения доработки после сварки приемного фланца с трубками.

1 Состояние вопроса

1.1 Конструкция изделия

Вышедшие из цилиндров двигателя, отработанные газы попадают в «горячую» часть выхлопной системы, где происходит снижение их токсичности. Далее вредные вещества направляются в «холодную» часть для снижения температуры, вибрации, уровня шума и отвода газа в атмосферу. Одним из важных элементов выхлопной системы автомобиля является каталитический коллектор, призванный снижать уровень токсичности.

Каталитический коллектор состоит из приемного фланца (рис.1.1), устанавливаемого на двигатель, приемных трубочек (рис.1.2), собирающих отработанные газы от каждого цилиндра в общий объем. Корпус нейтрализатора с запрессованным в него керамическим блоком (рис.1.3), на поверхность которого нанесено покрытие из драгоценных металлов. Для дальнейшего направления отработавших газов в выхлопную систему служит фланцем, которые соединяются cприемным фланцем конус дополнительного глушителя (рис.1.4). Перед и после керамического блока расположены втулки (рис.1.5) для установки кислородных определяющих уровень токсичности отработанных газов до и после нейтрализации.



Рисунок 1.1 – Приемный фланец

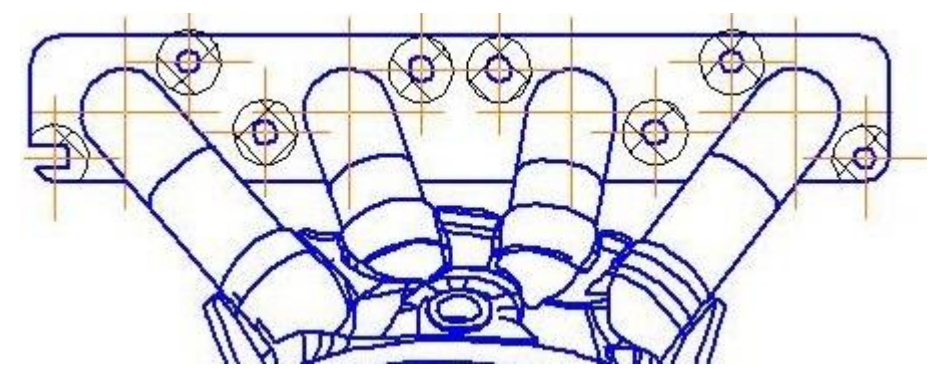


Рисунок 1.2 – Приемные трубки



Рисунок 1.3 – Корпус нейтрализатора с запрессованным в него керамическим блоком [1]



Рисунок 1.4 – Конус с фланцем

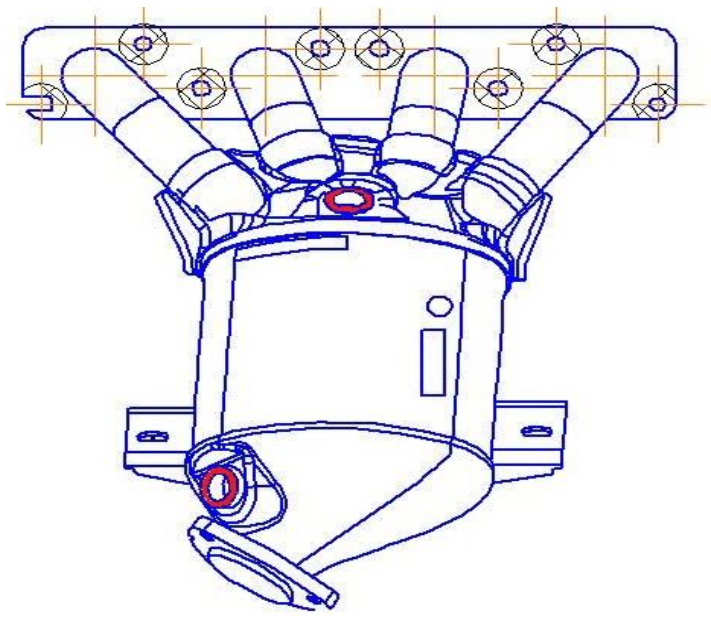


Рисунок 1.5 – втулки для установки кислородных датчиков

1.2 Описание материала

Двигатель и каталитический коллектор разделяют приемные трубки и фланец. Приемный фланец производится из конструкционной углеродистой качественной стали 20 (табл.1.1-1.2).

Таблица 1.1 - Химический состав (в %. вес) стали 20 [2]

С	Si	Mn	Ni	S	P	Cr	Cu	As	Fe
0.17 -	0.17 -	0.35 -	до	до		до	до	до	О
0.24	0.37	0.65	0.3	0.04	0.035	0.25	0.3	0.08	ст

Таблица 1.2 - Механические свойства стали 20 при T=20°C [2]

Сортамент	Размер	Предел	Предел	δ ₅	Ψ	Термообработка
	прочности при прочности					
		растяжении	растяжении			
-	MM	МПа	МПа	%	%	-
Прокат,	До 80	410	245	25	55	Нормализация
ГОСТ						
1050-88						

При производстве каталитического коллектора, соединительных трубок, конуса с фланцем используется сталь 1.4509 (табл.1.3-1.4). Отечественным аналогом является коррозионностойкая жаропрочная сталь 08X17T (табл.1.3-1.4).

 Таблица 1.3 - Химический состав в % стали 1.4509 и 08X17Т [2]

Сталь	С	Si	Mn	P	S	Cr	Nb	Ti	
									Ni
1.4509	до	до	до	до	до	17,5-	3xC+0,3	0,10-	-
	0,05	1,0	1,00	0,040	0,015	18,5	0-1,00	0,60	
08X17	до	до	до	до	до	16 -	-	до	до 0.6
T	0.08	0.8	0.8	0.035	0.025	18		0.8	

Таблица 1.4 - Механические свойства 1.4509 и 08X17T при T=20°C [2]

Сталь	Сортамент	Предел	δ5	Термообработка
		прочности		
		при		
		растяжении		
-	-	МПа	%	-
1.4509		430	18	
08X17T	Лист тонкий,	460	20	Отжиг 740-780°C
	ГОСТ 5582-			
	75			

1.3 Оборудование для сварки

Сварные швы, к которым предъявляются специфические требования (отсутствие сварочных брызг и т.д.), для сварки приемного фланца с трубочками используется роботизированная сварка неплавящимся вольфрамовым электродом, а для приварки втулок и выпускного фланца используется роботизированная дуговая сварка плавящимся электродом в

газовой смеси. Для обеспечения высокой скорости и точности требуется универсальный робот для сложной работы, манипулятор Yaskawa Motoman HP20. Промышленный робот HP20 обладает шестью осями вращения, грузоподъёмностью 20 кг, радиусом действия 1717мм.



Рисунок 1.6 - Манипулятор Yaskawa Motoman HP20 [3]

Таблица 1.5 – Технические характеристики манипулятора Yaskawa Motoman HP20 [3]

Назначе	ние	Электродуговая сварка			
Тип констр	укции	Вертикально сочлененная			
Степеней св	вободы	6			
Полезная на	пгрузка	20 кг			
Точность повт	оряемого	±0,06 mm			
позиционир	ования				
Macca	1	257 kg			
Требования к элег	стропитанию	2,8 кВА			
Условия	Температура	от 0° до +45° С			

окружающей	Влажность	20 – 80% относительной			
		влажности (без конденсации)			
среды					
	Ускорение	4,9 м/c2 [0,5 G] или менее.			
	вибраций				
	Другие	Отсутствие коррозионно-			
		активных либо взрывоопасных			
		газов или жидкостей. Отсутствие			
		воздействия воды, масла или			
		пыли. Отсутствие чрезмерных			
		электрических помех (плазма)			

На некоторых операциях сварочные посты оборудованы апаратом Tetrix 300TM (рис. 1.7). Представляет собой трехфазную инверторную модель для сварки постоянным током.



Рисунок 1.7 – Инверторный аппарат для сварки постоянным током Tetrix 300TM [4]

Таблица 1.6 – Технические характеристики Tetrix 300TM [4]

Диапазон регулирования сварочного тока	5 - 300 A

Продолжительность включения при	300 A / 60 % ; 250 A / 100 %
t=40°C	
Напряжение холостого хода	98 B
Частота сети	50 Гц / 60 Гц
Сетевой предохранитель (инерционный)	3 x 16 A
Сетевое напряжение (допуски)	3 х 400 В (от - 25 до + 20 %)
Максимальная потребляемая мощность	8,3 кВА
Рекомендуемая мощность генератора	8,3 кВА
Габариты аппарата (ДхШхВ) в мм	590 x 230 x 380
Масса аппарата	29 кг
Масса модуля охлаждения	15 кг
Холодопроизводительность	800 Вт (1 л / мин)
Ёмкость бака	4 ,5 л
Производительность	5 л / мин

Некоторые сварочные посты оборудованы полуавтоматами инверторного типа Fronius TPS 3200 (рис. 1.5), который позволяет производить сварку следующими способами:

- Импульсная дуговая сварка MIG/MAG
- CBapka MIG/MAG
- Пайка MIG
- Сварка постоянным током DC TIG
- Пайка MIG
- Ручная электродуговая сварка ММА



Рисунок 1.8 - Fronius TPS 3200

Усовершенствованный сварочный процесс обеспечивается за счет систем системы цифрового управления Fronius (рис. 1.6).

При помощи данного полуавтомата можно производить сварку и пайку следующих материалов любой толщины:

- Конструкционная сталь
- Конструкционная сталь с покрытием
- Ферритная / аустенитная хромоникелевая сталь
- Сплавы на никелевой основе
- Алюминиевые сплавы



Рисунок 1.9 - Цифровое управление

Таблица 1.7 – Технические характеристики полуавтомата сварочного Fronius TPS3200 [4]

Тип	инверторный
Напряжение сети	380 B
Сварочный ток, min	от 3 А
Сварочный ток, тах	до 320 А
Диапазон	3-320 A
сварочного тока	
Напряжение	65 B
холостого хода	
Рабочее напряжение	14,2-30,0 B
Габариты	д/ш/в 625x290x475 мм
Macca	34,6 кг

1.4 Вспомогательные сварочные материалы

В качестве присадочного материала используется проволока коррозионностойкая для сварки нержавеющих сталей, содержащих Сr 13-18% в среде защитных газов (Ar). Применяется в автомобилестроении для изготовления выхлопных труб.

Таблица 1.8 – Технические характеристики проволоки ESAB OK Autrod 430Ti [5]

Диаметр, мм	Скорость	Сварочный Напряжение		Кг
	подачи,	ток, А	дуги, В	наплавленного
	м/мин			металла/ час
				работы дуги
1.0	4.0-16.0	80-240	15-28	1.5-6.0

1.5 Базовый технологический процесс сварки каталитического коллектора автомобиля Datsun mi-DO.

Все сварочные посты оборудованы полуавтоматами инверторного типа Fronius TPS 3200, сварка производится проволокой ESAB OK Autrod 430Ti диаметром 1 мм, в газовой смеси Кронигон-2 (98%Ar+2%CO), расход защитного газа 10-18 л/мин.

- 1. Входной контроль. Каждый компонент перед подачей на сборочную операцию проверяется контрольным калибром на соответствие требованиям чертежа. К компонентам предъявляют следующие требования: функциональных поверхностях не допускаются трещины, задиры и заусенцы. Трубы должны быть чистыми, без металлической стружки внутри, без следов масла и эксплуатационных жидкостей от оборудования. Заусенцы и задиры на торцах труб и гофры на радиусных участках - не допускаются. Остальные технические требования ПО ТУ 4591-002-62463147-2012 «Глушители выпуска отработавших газов для автомобилей LADA»
- 2. Сварка верхнего полукорпуса со втулкой, конуса со втулкой и выпускным фланцем. Достаньте сваренный конус с втулкой с оснастки и переложите в оснастку втулкой от себя. Взять со стеллажа конус и установить в оснастку. Взять втулку и установить ее в оснастку в отверстие конуса. Зажать детали прижимом, отпустить прижим нажимая на кнопку пневмоклапана. Закрыть прижим за ручку. Взять верхний полукорпус и установить его в оснастку. Взять втулку и установить ее в оснастку в отверстие полукорпуса. Зажать деатль прижимом нажимая на кнопку пневмоклапана (рис. 1.10). Взять фланец выпускной и установить его в оснастку на плоские опоры. Закрыть прижим за ручку. Зажать детали прижимом, отпустить прижим, нажимая на кнопку пневмоклапана (рис. 1.11). Нажать на кнопку ПУСК для запуска автоматического режима сварки. Наличие, положение сварных швов; швы не должны иметь непроваров и несплошностей. Убедиться в отсутствии сквозных прожогов, сварных брызг

на резьбе, на поверхности полукорпуса и на функциональных поверхностях втулок. Передать деталь на следующую операцию.



Рисунок 1.10 – Сварка втулки с полукорусом



Рисунок 1.11 – Сварка конуса с втулкой и выпускным фланцем

3. Сборка и прихватки верхнего узла. Установить фланец в сварочную оснастку по двум базовым штифтам. Зафиксировать фланец тремя прижимами. Установить нижний полукорпус в ложемент. Установить 4 трубки в ложемент на ручьи нижнего полукорпуса и в отверстия фланца. Трубки должны входить и перемещаться во фланце свободно, без усилий. Установить верхний полукорпус поверх трубок. Выдвинуть вперед, до упора, ложемент для базирования торцов полукорпусов. Зафиксировать полукорпус

двумя прижимами. Торцы должны находится на одной линии. Сварить детали дуговой сваркой при $I=160A, U=21B, V_{cB}=0,35 \text{м/мин}, V_{п.п.}=8,5 \text{м/мин}.$ Использовать проволоку • 1,0мм ESAB OK Autrod 430Ti (рис. 1.12-1.13). Не допускать сквозных прожигов трубок и полукорпусов. Убедится в отсутствии сварочных брызг на внутренних поверхностях полукорпусов и трубок, обратной стороне впускного фланца. Передать деталь на следующую операцию.



Рисунок 1.12 – Положение сварочной горелки для прихваток фланца



Рисунок 1.13 – Положение сварочной горелки для прихваток полукорпуса

4. Сварка трубок к фланцу. Взять узел с предыдущей операции и установить его на стол оснастки. Вынуть сваренный узел из оснастки, поставить на стол. Установить не обваренный узел в оснастку, зафиксировать прижимами. Взять сваренный узел, второй рукой нажать кнопку «СТАРТ» (рис. 1.14). Сварка фланца с трубками выполняется на 2 операциях: на первой

обваривается отверстие 1,3, а на второй обвариваются отверстия 2,4.100% самокнотроль. Наличие, положение сварных швов; швы не должны иметь непроваров и несплошностей. Передать деталь на следующую операцию.



Рисунок 1.14 – Сварка трубок к фланцу

5. Сварка верхнего узла. Взять верхний узел после предыдущей операции и установить его в оснастку. Зафиксировать деталь верхним прижимом. Закрыть прижим заглушки верхней гайки. Взять сварочную горелку и сварить деталь (рис. 1.15). Расфиксировать все прижимы.



Рисунок 1.15 – Сварка верхнего узла

6. Проверка плоскостности приемного фланца. Установить деталь на стенде, зафиксировать прижимом. Нажать и удерживать кнопки двумя руками до полного прижатия верхнего фланца к измерительной поверхности. Нажать зелёную кнопку чтобы начать измерение (рис.1.16).



Рисунок 1.16 – Проверка плоскостности приемного фланца

7. Сварка верхнего узла с корпусом нейтрализатора в сборе. Зафиксировать фланец прижимом. Закрыть прижим. Взять верхнюю часть катколлектора и установить в оснастку ориентируя по двум штифтам. Зафиксируйте приемный фланец прижимами. Переместить узел влево взявшись за рукоятку правой рукой до соединения с верхней частью катколлектора. Взять сварочную горелку и сварить деталь (рис. 1.17). Расфиксировать прижимы нижнего подвижного ложемента. Расфиксировать прижимы впускного фланца.

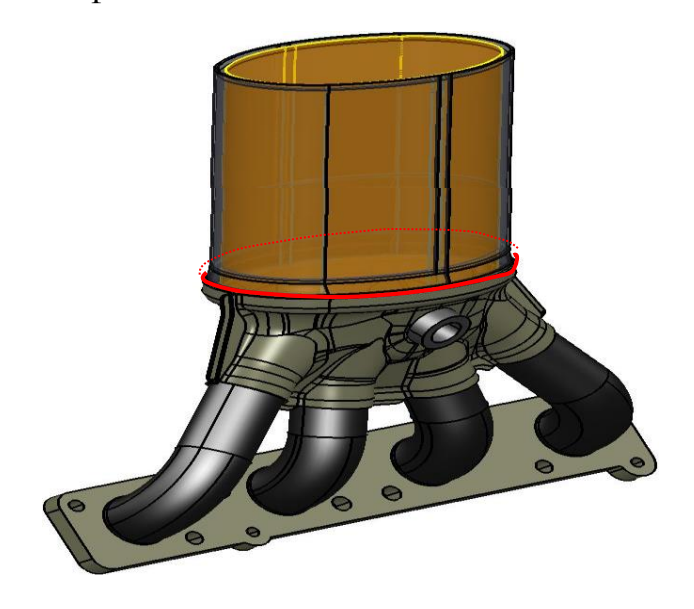


Рисунок 1.17 – Сварка верхнего узла с корпусом нейтрализатора

8. Приварка конуса в сборе к корпусу нейтрализатора. Взять узел после предыдущей операции и установить его в оснастку. Зафиксировать фланец прижимом. Возьмите верхнюю часть каталитического коллектора установить в оснастке ориентируя по двум штифтам. Зафиксировать приемный фланец прижимами. Переместить узел влево взявшись за рукоять правой рукой до соединения с верхней частью каталитического коллектора. Взять сварочную горелку и сварить деталь согласно инструкции TOG-WI-WPS-102 (рис. 1.18). Разжать прижимы нижнего подвижного ложемента. 100% самоконтроль. Разжать прижимы впускного фланца. Наличие, положение сварного шва; шов не должен иметь непровар, несплошностей, пор, прожогов, наплывов, чрезмерного проплавления.



Рисунок 1.18 - Приварка конуса в сборе к корпусу нейтрализатора

9. Приварка кронштейнов. Взять кронштейн без выреза, установить в сварочную оснастку ближнего края отверстием на базовый штифт. Зафиксировать кронштейн прижимом. Взять кронштейн с вырезом, установить в сварочную оснастку дальнего края отверстием на базовый штифт. Зафиксировать кронштейн прижимом. Установить катколлектор в приспособление по двум базовым штифтам, зафиксировать верхний фланец катколлектора прижимами. Зафиксировать нижний фланец с помощью заднего прижима. Взять сварочную горелку и сварить деталь (рис. 1.19). Расфиксируйте все прижимы.

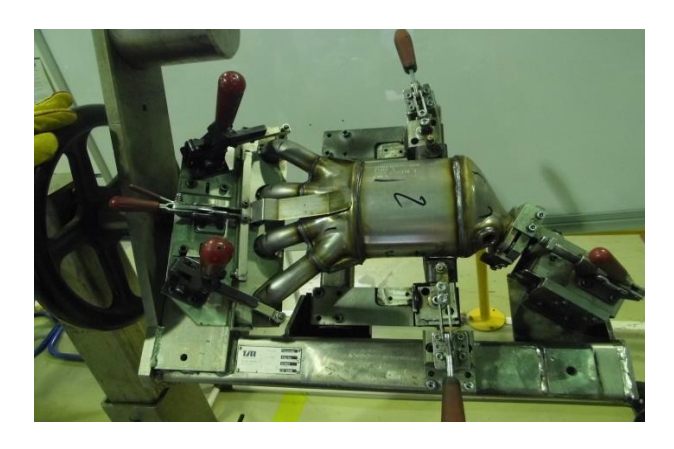


Рисунок 1.19 – Приварка кронштейнов

10. Проверка герметичности. Установить деталь на стенд для испытания. Герметизируйте две резьбовые втулки быстросъемными пробками (рис.1.20). Для запуска измерения нажать кнопку пневмораспределителя.



Рисунок 1.20 – Проверка герметиности

11. Стенд проверки геометрии. Взять деталь с предыдущей операции. Установить деталь на стенде, зафиксировать прижимом (рис. 1.21). Нажать и удерживать кнопки двумя руками до полного прижатия верхнего фланца к базовой поверхности. Для демонтажа детали нажмите кнопку «Open reset». Удерживайте сенсорные кнопки двумя руками до возвращения гидроприжимов в исходное положение. Откройте прижим придерживая деталь правой рукой за выпускной фланец. Передайте деталь на следующую операцию.



Рисунок 1.21 – Стенд проверки геометрии

12. Финальный контроль. Взять деталь из межоперационного накопителя, положите на рабочий стол. Устранить сварочные брызги на функциональной поверхности. Проверить отверстия фланца при помощи калибра. Проверить выступающий сварочный шов за края кронштейна и область вокруг швов. Перевернуть деталь на другую сторону. Устранить сварочные брызги в области отверстий. Проверить поверхность верхней втулки. Взять деталь с рабочего стола и повесить на специальный держатель.

1.6 Анализ базового процесса

Недостатками сварки приемного фланца с трубками вольфрамовым неплавящимся электродом в базовом процессе является: высокий уровень доработки (до 25%), низкая скорость сварки, высокие требования к свариваемым деталям, сложность настройки оборудования.

Для достижения поставленной цели, которая была сформулирована в начале бакалаврской работы и проведенного анализа недостатков базового процесса, необходимо выполнить следующие задачи:

- 1) провести анализ способов сварки приемного фланца с трубками;
- 2) разработать проектный технологический процесс сварки.

2 Анализ способов сварки приемного фланца с трубками

Сварка неплавящимся вольфрамовым электродом в защитном газе использует тепло, образующееся при горении электрической дуги между электродом и основным металлом. Температура в столбе дуги при сварке вольфрамовым неплавящимся электродом в среде защитных газов процессе может достигать 19 500 °C.

Вольфрамовый электрод закрепляется в токопроводящем устройстве специальной горелки, к которой по шлангам подводится токоведущий провод и защитный инертный газ. Истекающая из сопла горелки струя аргона оттесняет воздух и надежно защищает электрод, дугу, сварочную ванну и околошовную зону от окисления и азотирования (рис. 2.1). Таким образом, процесс осуществляется при струйной защите зоны сварки от контакта с воздухом. Если возникает необходимость в добавочном (присадочном) металле для заполнения шва (получения сварочного валика), то в дугу подается присадочная проволока, как правило, того же или близкого состава, что и свариваемый металл.

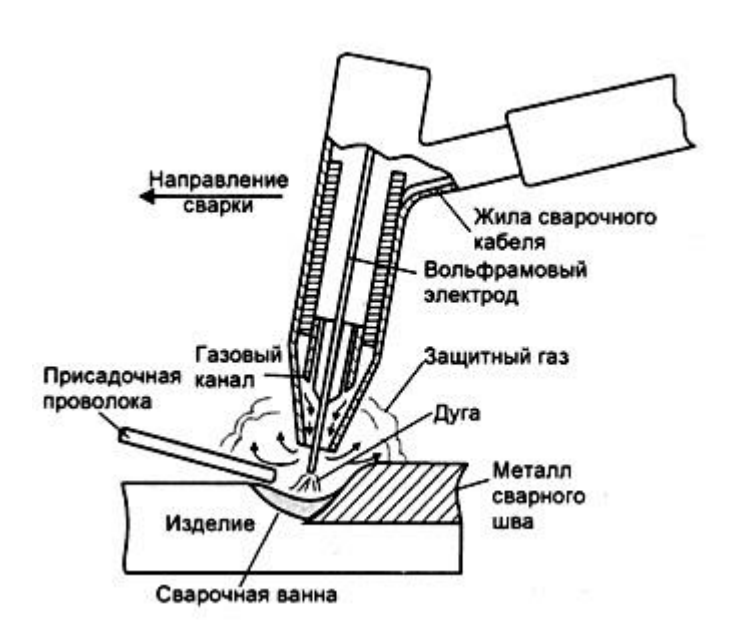


Рисунок 2.1 – Сварка неплавящимся вольфрамовым электродом в защитном газе [5]

Преимущество GTAW процесса заключается в том, что им можно сваривать значительно большее количество металлов и сплавов, чем любой другой сваркой. ТІG сварка позволяет сваривать сталь, в том числе нержавеющую, никелевые сплавы (монель, инконель и др.), титан, алюминий, алюминиевые и магниевые сплавы, медь, бронзу и даже золото. Можно сваривать разнородные металлы, например медь с латунью и нержавеющую сталь с низкоуглеродистой сталью. Этим способом можно соединять вручную, полуавтоматически или автоматически в различных пространственных положениях разнообразные металлы и сплавы толщиной от десятых долей до десятков миллиметров.

При сварке GTAW процессом не требуется шлак, следовательно, ничто не закрывает сварщику сварочную ванну. Завершенный валик сварного шва не имеет шлаковой корки, нет необходимости зачищать валики сварного шва при многопроходной сварке. Шлаковые включения в многослойной сварке бывают крайне редко. Исключение составляют металлы, подобные инконелю, в них могут встречаются шлаковые включения.

При сварке GTAW процессом отсутствует перенос расплавленного металла через дуговой промежуток. Это в значительной мере облегчает условия горения дуги и обусловливает более высокую ее стабильность. Нет расплавленных капель металла и нет брызг: если свариваемый металл не загрязнен, то нет и искр.

К недостаткам GTAW процесса, по сравнению со сваркой покрытым электродом и GMAW процессом, относится необходимость применения дополнительных защитных мер против световой и тепловой радиации дуги. Из-за отсутствия дыма и более высокой температуры дуги излучение более сильное, имеющее сдвиг в ультрафиолетовую область, что, в свою очередь, вызывает образование озона и оксидов азота.

Сварка неплавящимся вольфрамовым электродом производится на прямой полярности (минус на электроде). При установившейся дуге электронный поток движется от отрицательного электрода горелки к положительному электроду (изделию), а поток положительно заряженных ионов - к электроду. При сварке на обратной полярности примерно 70% тепла сконцентрировано с положительной стороны дуги, и значительная часть этого тепла передается в зону сварки.

Прямая полярность позволяет получить узкую, сконцентрированную дугу, дающую глубокое проплавление и, соответственно, большую скорость сварки. Электрод получает меньшую часть тепловой энергии дуги и будет иметь меньшую температуру, чем при сварке на переменном токе или при сварке на обратной полярности, что, в свою очередь, позволяет уменьшить диаметр вольфрамового электрода и снизить расход защитного газа.

При обратной полярности поток электронов также движется от отрицательного электрода к положительному, но в данном случае от изделия к электроду. Следовательно, 70% тепла сконцентрировано в дуге около вольфрамового электрода. Поскольку электрод получает значительно больше на обратной полярности, тепла сварке чем на прямой, перегрева и расплавления вольфрамового электрода предотвращения приходится использовать электроды увеличенного диаметра и уменьшать сварочный ток. Свариваемое изделие при сварке на обратной полярности получает меньше тепла и как результат - меньшая глубина проплавления.

Другим недостатком при сварке на обратной полярности является блуждание дуги, возникающее иногда из-за магнитного дутья. Магнитное дутье может возникнуть и при сварке на прямой полярности, но сварка на обратной полярности более подвержена магнитному дутью. [6]

При сварке плавящимся электродом дуга горит между изделием и расплавляемой сварочной проволокой, подаваемой в зону сварки. При сварке

неплавящимся электродом (вольфрамовые прутки) сварочная дуга может быть прямого или косвенного действия. Разновидностью сварочной дуги косвенного действия может быть дуга, горящая между вольфрамом, и беспрерывно подаваемой в зону дуги сварочной проволокой.

При дуговой сварке плавящимся электродом в среде защитных газов геометрическая форма сварного шва и его размеры зависят от мощности сварочной дуги, характера переноса металла через дуговой промежуток, а также от взаимодействия газового потока и частиц металла, пересекающих дуговой промежуток, с ванной расплавленного металла.

В процессе сварки на поверхность сварочной ванны оказывает давление столб дуги за счет потока газов, паров и капель металла, вследствие чего В основной металл, увеличивая столб ДУГИ погружается глубину проплавления. Поток газов и паров металла, направляемый от электрода в сварочную ванну, создается благодаря сжимающемуся действию электромагнитных сил. Сила воздействия сварочной дуги расплавленного металла характеризуется ее давлением, которая будет тем больше, чем концентрированный поток газа и металла. Концентрация потока уменьшением который металла увеличивается \mathbf{c} размера капель, определяется составом металла, защитного газа, а также направлением и величиной сварочного тока.

Сварочная дуга, образованная в результате плавления электрода в среде инертных газов, имеет форму конуса, столб которой состоит из внутренней и внешней зоны. Внутренняя зона имеет яркий свет и большую температуру.

Во внутренней зоне происходит перенос металла и ее атмосфера заполнена светящимися парами металла. Внешняя зона имеет менее яркий свет и представляет собой ионизированный газ. [7]

На основе проведенного анализа был выбран способ сварки в среде защитных газов плавящимся электродом, как способ в котором отсутствуют недостатки присущие базовому варианту; высокая скорость сварки, менее

высокие требования к свариваемым компонентам, низкий уровень доработки (до 5%), отсутствие сварочных брызг.

2.1 Способ сварки короткими замыканиями

Процесс является разновидностью сварки плавящимся электродом с периодическими короткими замыканиями.

Bo время такого процесса образование короткого замыкания сопровождается значительным повышением тока (резким понижением напряжения и повышением сопротивления), что непременно приводит к повышению тепловложения в основной металл. Однако при сварке с периодическими короткими замыканиями при первом обнаружении короткого замыкания ток снижается до минимально допустимого значения, в то же время происходит отрыв капли за счет обратного движения сварочной проволоки (рис. 1). Вот почему перенос металла осуществляется при значении тока практически равном нулю и поэтому величина тепловложения очень мала.

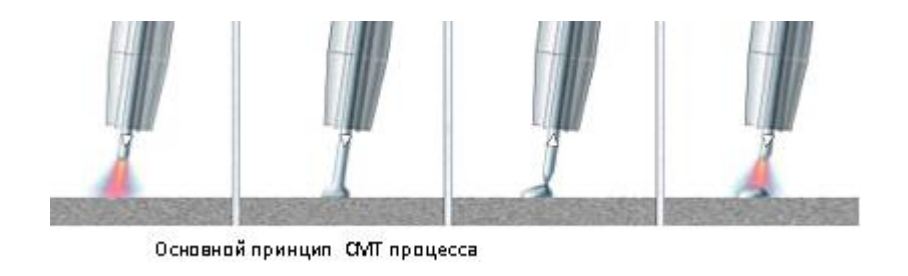


Рисунок 2.2 – Основной принцип сварки короткими замыканиями

Процесс сварки плавящимся электродом с периодическими короткими замыканиями можно описать по следующему алгоритму (рис. 2):

- Во время горения дуги сварочная проволока подводится к ванне;
- В момент входа сварочной проволоки в сварочную ванну дуга гасится, ток снижается для исключения разрыва перемычки;

- В момент короткого замыкания ток снижается до минимума, сварочная проволока отводится назад для облегчения отделения капли;
- Проволока снова подаётся в сварочную ванну, зажигается дуга, начинается новый цикл сварки.



Рисунок 2.3 - Последовательность действий в цикле СМТ сварки.

В зависимости от того, какая характеристика была выбрана, это возвратно поступательное движение может повторяться до 70 раз в секунду. Кроме того, две особенности, отмеченные выше (1-ая перенос металла без тока (условно) и 2-ая возвратно поступательное движение электрода), а также 3-я особенность — движение проволоки, должны быть включены в систему управления.[7]

Преимущества и диапазон мощностей.

Данная технология имеет следующие преимущества по сравнению с обычными процессами сварки в среде защитных газов:

- Благодаря малому тепловложению легкие и сверхлегкие листы (толщина менее 0,3 мм) могут быть соединены с наилучшим результатом (в случае механизированной и автоматизированной сварки). Это именно та область, для которой был разработан СМТ процесс.
- Просмотрев видео обучающей презентации, мы смогли убедиться, что разработанный способ управления процессом не ориентируется на скорость сварки даже если она увеличена до максимума, и не ориентируется на величину вылета. Это также означает высокую стабильность дуги, а значит, и процесса.

- Другое значительное преимущество заключается в отсутствии брызг при сварке и пайке. Особенно видна разница при СМТ наплавке по сравнению с обычной
- Также СМТ процесс обеспечивает хорошее «покрытие» зазоров между свариваемыми деталями и более высокие скорости сварки и наплавки по сравнению с обычными процессами.
- Более стабильный сварочный процесс за счёт механического слежения за дугой.
- Практически полное отсутствие брызг даже при работе в СО2
- Сварка в совмещённом режиме с пульсом, влияет на проплавление и геометрию шва.
- Возможность сварки по большому зазору, ниже требования к оснастке.
- Высокая скорость сварки в ручном режиме (в 1.5 ÷ 2 раза выше традиционного полуавтомата)

Возможные области применения сварки плавящимся электродом с короткими замыканиями.

процесс превосходно подходит для соединения легких сверхлегких листов. Также очевидны преимущества при соединении алюминиевых материалов, толщиной до 3 мм, CrNi материалов (типа нержавеющих сталей, жаропрочных никелевых сплавов и т.п.) и сталей толщиной до 2мм. При наплавке на оцинкованные листы (покрытие, способом полученное электролитическим ИЛИ погружения) главное брызг. преимущество в практически полном отсутствии вышеперечисленных применений имеется общее преимущество – сварка и наплавка осуществляются на скоростях выше тех, которые характерны для обычных процессов сварки и наплавки (зависит от геометрии, желаемого значения проплавления и величины зазора). [8]

2.2 Внедрение сварки плавящимся электродом в среде защитных газов (метод коротких замыканий) для сварки приемного фланца с трубками.

На основе проанализированных способов сварки было принято решение, что сварка плавящимся электродом в среде защитных газов наиболее полно удовлетворяет требования стандарта 34-05-59 «Требования к сварным швам выхлопных систем».

Была проведена опытная сварка 50 деталей, сваренных на 3 различных режимах (табл. 2.1).

Таблица 2.1 - Режимы сварки образцов

Режимы сварки	Группы образцов				
	1	2	3		
Скорость подачи,	5,3	4,2	4,0		
м/мин					
Длина дуги, %	-14	-20	-12		

После сварки детали подвергались двум видам измерений:

- 1) замер отверстий фланца (табл. 2.2);
 - а) диаметр проходного сечения;
 - б) величина диаметра отверстия фланца;
- 2) макрография сварных швов.

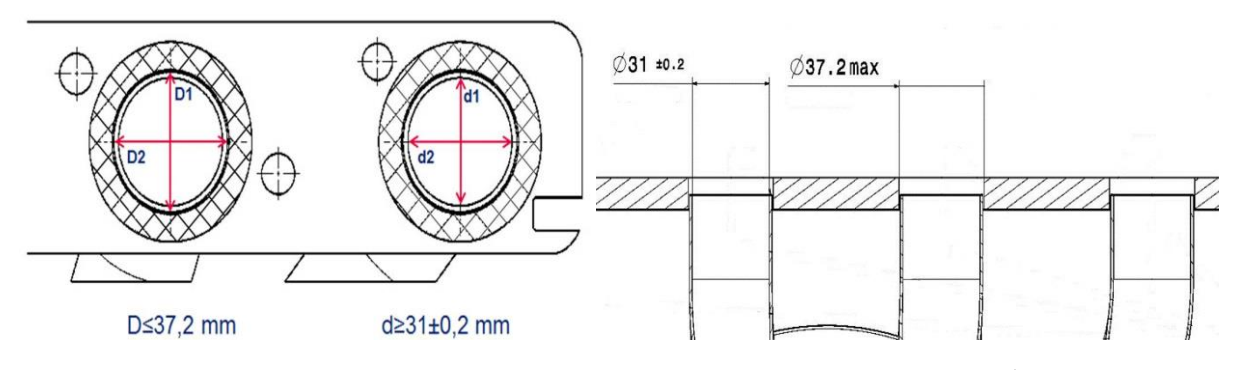


Рисунок 2.4 – Геометрические измерения отверстий фланца

Таблица 2.2 – Результаты замеров (в мм)

$N_{\underline{0}}$	2 1				2				3			
	D1	D2										
1	36,12	36,28	30,72	30,36	36,01	36,12	30,62	30,32	35,92	35,98	30,66	30,46
2	36,16	36,05	30,39	29,71	36,13	36,19	30,67	30,49	35,72	35,89	30,63	30,43
3	36,12	35,98	30,49	30,14	35,81	35,94	30,64	30,43	35,92	35,91	30,18	29,87
4	35,36	35,7	30,89	30,26	-	-	-	-	35,46	35,66	30,57	30,39
5	35,94	36,32	30,54	30,28	_	_	_	_	_	_	_	_

Результаты геометрии показали, что полученные сварные измерения не соответствуют требованиям чертежа (рис. 2.4): Диаметр проходного отверстия трубок был меньше минимально необходимого 30,8 мм. Величина оплавления приемного фланца не выходила за требуемый размер 37,2 мм.

Проведение макрографических исследований показали, что для 1 и 2 группы образцов отсутствовала требуемая величина проплавления 0,2 мм (рис. 2.5). Для 3 группы проплавления было достаточным.

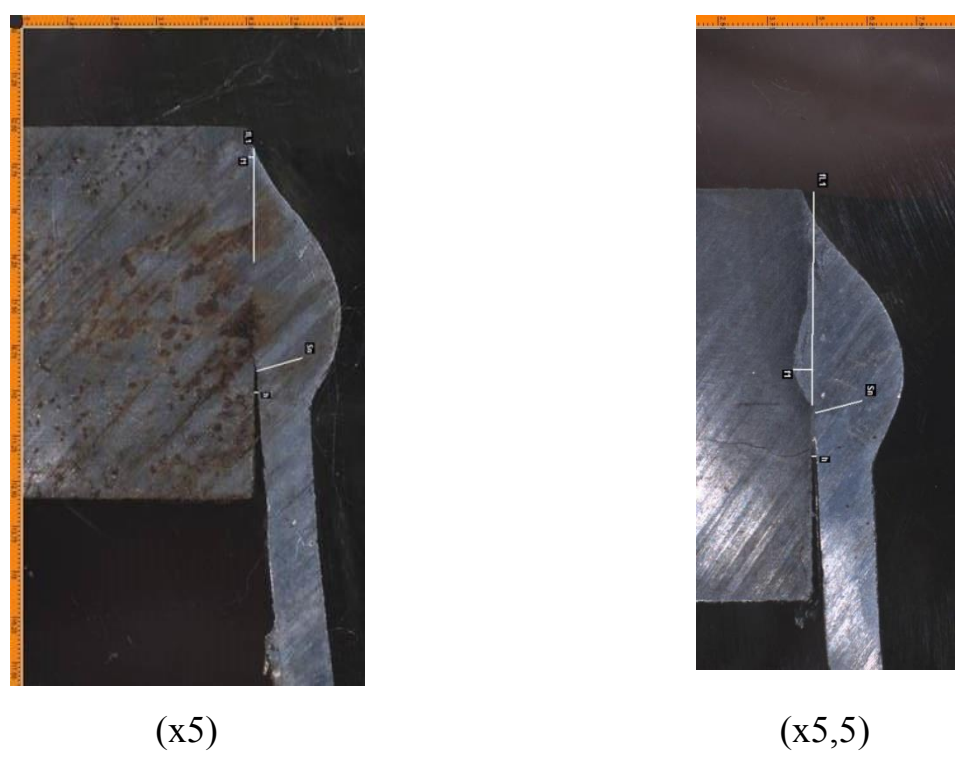


Рисунок 2.5 - макрографические исследования величины проплавления

В результате проведенных исследований было принято решение о необходимости изменения конструкции свариваемых деталей:

Диаметр отверстий фланца был увеличен с 35,4 до 36,8 мм (рис. 2.6).

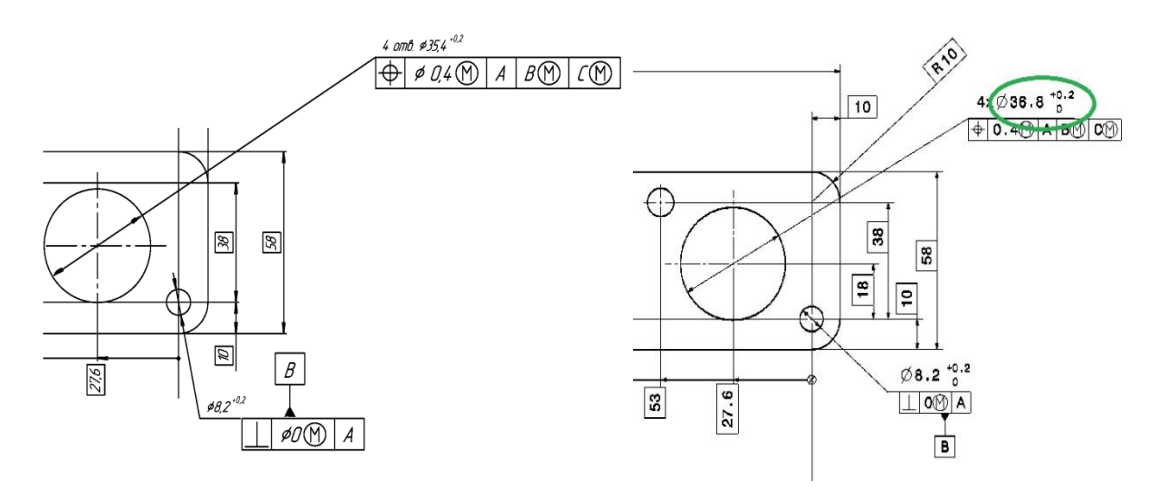


Рисунок 2.6 - изменение диаметра отверстий фланца Увеличен диаметр раздачи трубок с 35,0 до 36,8 мм (рис. 2.7).

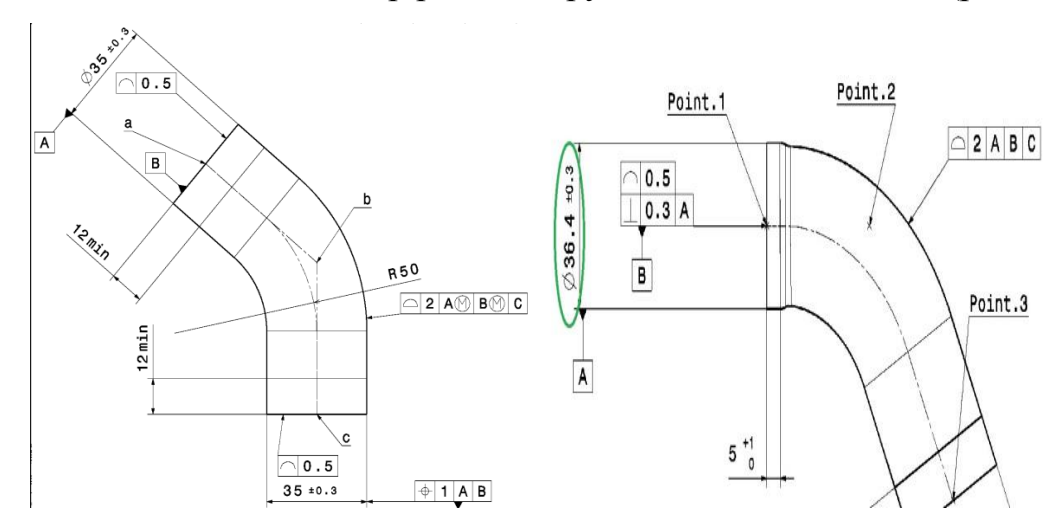


Рисунок 2.7 - Изменение диаметра раздачи трубок

Была проведена сварка с измененными деталями на следующих режимах.

Скорость сварки -45 см/мин; «Чистое» время сварки -65 с; Машинное время -78 с.



Таблица 2.3 – Сварочные режимы

СВАРОЧНЫЕ РЕЖИМЫ		
Параметр	Величина	
Тип процесса	CrNi 19 9 (1,0)	
Скорость подачи, м/мин	5,2	
Длина дуги, %	-28	
Коррекция импульса	2,0	
Ток старта, %	80	
Время тока старта, с	0,4	
Изменение тока старта, с	0,4	

Для ускорения проверки проходного сечения был разработан калибр «Пробка» (рис. 2.7).

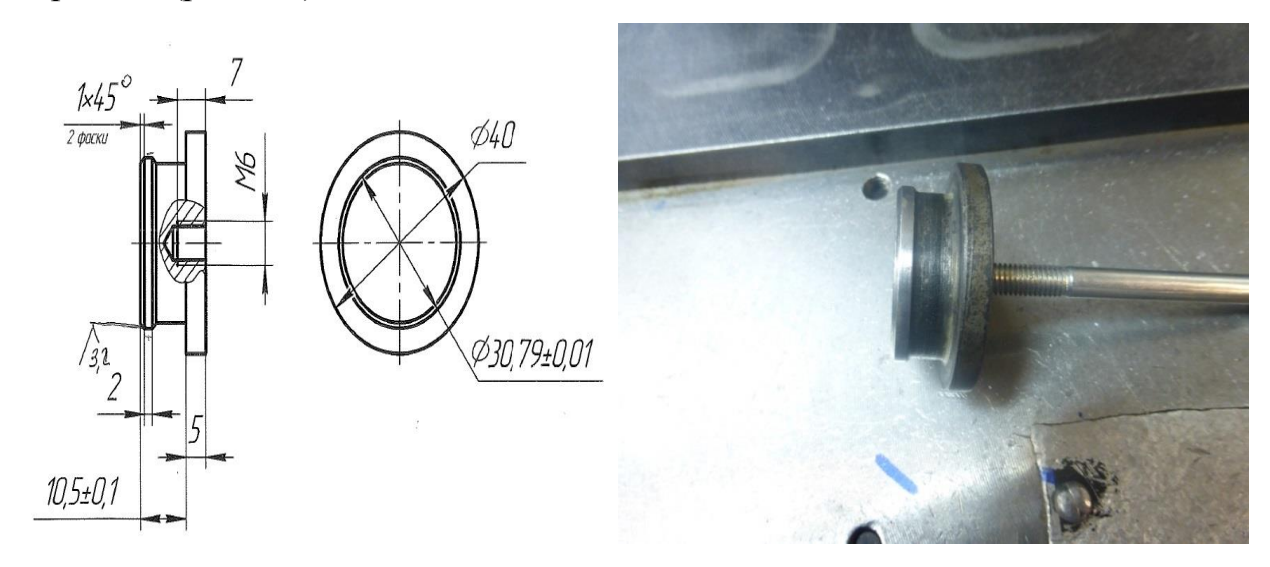


Рисунок 2.7 - Калибр пробка

В результате измененных режимов сварки диаметр проходного сечения и величина отверстия фланца стали соответствовать требованиям чертежа (табл. 2.4).

Таблица 2.4 - результаты замеров с измененными режимами сварки.

$N_{\underline{0}}$		1		
	D1	D2	d1	d2
1	37,13	36,96	31,50	31,40
2	37,04	36,99	31,46	31,48
3	36,87	36,90	31,45	31,27
4	37,21	37,12	31,47	31,55
5	37,29	37,07	31,38	31,35
6	37,34	37,10	31,59	31,56
7	37,31	37,21	31,64	31,46
8	37,25	37,24	31,70	31,67
9	37,31	37,29	31,47	31,43

В результате проделанной работы были подобраны сварочные режимы, обеспечивающие получение готовой детали с необходимыми свойствами (размеры проходного сечения, оплавление отверстий приемного фланца, получение сварных швов надлежащего качества, отсутствие сварочных брызг внутри труб).

2.3 Проектный технологический процесс сварки каталитического коллектора автомобиля Datsun mi-DO.

Все сварочные посты оборудованы полуавтоматами инверторного типа Fronius TPS 3200, сварка производится проволокой ESAB OK Autrod 430Ti диаметром 1 мм, в газовой смеси Кронигон-2 (98%Ar+2%CO), расход защитного газа 10-18 л/мин.

1. Входной контроль. Каждый компонент перед подачей на сборочную операцию проверяется контрольным калибром на соответствие требованиям чертежа. К компонентам предъявляют следующие требования: на функциональных поверхностях не допускаются трещины, задиры и заусенцы. Трубы должны быть чистыми, без металлической стружки внутри, без следов масла и эксплуатационных жидкостей от оборудования. Заусенцы и задиры на торцах труб и гофры на радиусных участках - не допускаются.

Остальные технические требования по ТУ 4591-002-62463147-2012 «Глушители выпуска отработавших газов для автомобилей LADA»

2. Сварка верхнего полукорпуса со втулкой, конуса со втулкой и выпускным фланцем. Достаньте сваренный конус с втулкой с оснастки и переложите в оснастку втулкой от себя. Взять со стеллажа конус и установить в оснастку. Взять втулку и установить ее в оснастку в отверстие конуса. Зажать детали прижимом, отпустить прижим нажимая на кнопку пневмоклапана. Закрыть прижим за ручку. Взять верхний полукорпус и установить его в оснастку. Взять втулку и установить ее в оснастку в отверстие полукорпуса. Зажать деатль прижимом нажимая на кнопку пневмоклапана (рис. 2.8). Взять фланец выпускной и установить его в оснастку на плоские опоры. Закрыть прижим за ручку. Зажать детали прижимом, отпустить прижим, нажимая на кнопку пневмоклапана (рис. 2.9). Нажать на кнопку ПУСК для запуска автоматического режима сварки. Наличие, положение сварных швов; швы не должны иметь непроваров и несплошностей. Убедиться в отсутствии сквозных прожогов, сварных брызг на резьбе, на поверхности полукорпуса и на функциональных поверхностях втулок. Передать деталь на следующую операцию.



Рисунок 2.8 – Сварка втулки с полукорусом



Рисунок 2.9 – Сварка конуса с втулкой и выпускным фланцем

3. Сборка и прихватки верхнего узла. Установить фланец в сварочную базовым штифтам. оснастку по двум Зафиксировать фланец тремя прижимами. Установить нижний полукорпус в ложемент. Установить 4 трубки в ложемент на ручьи нижнего полукорпуса и в отверстия фланца. Трубки должны входить и перемещаться во фланце свободно, без усилий. Установить верхний полукорпус поверх трубок. Выдвинуть вперед, до упора, ложемент для базирования торцов полукорпусов. Зафиксировать полукорпус двумя прижимами. Торцы должны находится на одной линии. Сварить детали I=160A,U=21B, $V_{cB}=0.35 \text{M/MUH},$ дуговой сваркой при $V_{\Pi,\Pi} = 8.5 \text{ M/MUH}.$ Использовать проволоку № 1,0мм ESAB OK Autrod 430Ti (рис. 2.10-2.11). Не допускать сквозных прожигов трубок и полукорпусов. Убедится в отсутствии сварочных брызг на внутренних поверхностях полукорпусов и трубок, обратной стороне впускного фланца. Передать деталь на следующую операцию.



Рисунок 2.10 – Положение сварочной горелки для прихваток фланца



Рисунок 2.11 – Положение сварочной горелки для прихваток полукорпуса

4. Сварка трубок к фланцу. Взять узел с предыдущей операции и установить его на стол оснастки. Вынуть сваренный узел из оснастки, поставить на стол. Установить не обваренный узел в оснастку, зафиксировать прижимами. Взять сваренный узел, второй рукой нажать кнопку «СТАРТ» (рис. 2.12). Сварка фланца с трубками выполняется на 2 операциях: на первой обваривается отверстие 1,3, а на второй обвариваются отверстия 2,4. 100% самокнотроль. Наличие, положение сварных швов; швы не должны иметь непроваров и несплошностей. Передать деталь на следующую операцию.



Рисунок 2.12 – Сварка трубок к фланцу

5. Сварка верхнего узла. Взять верхний узел после предыдущей операции и установить его в оснастку. Зафиксировать деталь верхним прижимом. Закрыть прижим заглушки верхней гайки. Взять сварочную горелку и сварить деталь (рис. 2.13). Расфиксировать все прижимы.



Рисунок 2.13 – Сварка верхнего узла

6. Проверка плоскостности приемного фланца. Установить деталь на стенде, зафиксировать прижимом. Нажать и удерживать кнопки двумя руками до полного прижатия верхнего фланца к измерительной поверхности. Нажать зелёную кнопку чтобы начать измерение (рис.2.14).



Рисунок 2.14 – Проверка плоскостности приемного фланца

7. Сварка верхнего узла с корпусом нейтрализатора в сборе. Зафиксировать фланец прижимом. Закрыть прижим. Взять верхнюю часть катколлектора и установить в оснастку ориентируя по двум штифтам. Зафиксируйте приемный фланец прижимами. Переместить узел влево взявшись за рукоятку правой рукой до соединения с верхней частью катколлектора. Взять сварочную горелку и сварить деталь (рис. 2.15). Расфиксировать прижимы нижнего подвижного ложемента. Расфиксировать прижимы впускного фланца.

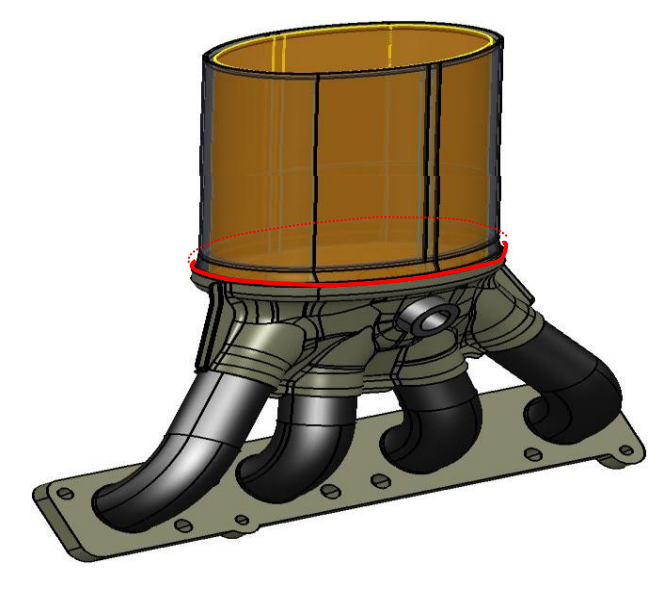


Рисунок 2.15 – Сварка верхнего узла с корпусом нейтрализатора

8. Приварка конуса в сборе к корпусу нейтрализатора. Взять узел после предыдущей операции и установить его в оснастку. Зафиксировать фланец прижимом. Возьмите верхнюю часть каталитического коллектора установить в оснастке ориентируя по двум штифтам. Зафиксировать приемный фланец прижимами. Переместить узел влево взявшись за рукоять правой рукой до соединения с верхней частью каталитического коллектора. Взять сварочную горелку и сварить деталь согласно инструкции TOG-WI-WPS-102 (рис. 2.16). Разжать прижимы нижнего подвижного ложемента. 100% самоконтроль. Разжать прижимы впускного фланца. Наличие, положение сварного шва; шов не должен иметь непровар, несплошностей, пор, прожогов, наплывов, чрезмерного проплавления.



Рисунок 2.16 - Приварка конуса в сборе к корпусу нейтрализатора

9. Приварка кронштейнов. Взять кронштейн без выреза, установить в сварочную оснастку ближнего края отверстием на базовый штифт. Зафиксировать кронштейн прижимом. Взять кронштейн с вырезом, установить в сварочную оснастку дальнего края отверстием на базовый штифт. Зафиксировать кронштейн прижимом. Установить катколлектор в приспособление по двум базовым штифтам, зафиксировать верхний фланец катколлектора прижимами. Зафиксировать нижний фланец с помощью заднего прижима. Взять сварочную горелку и сварить деталь (рис. 2.17). Расфиксируйте все прижимы.

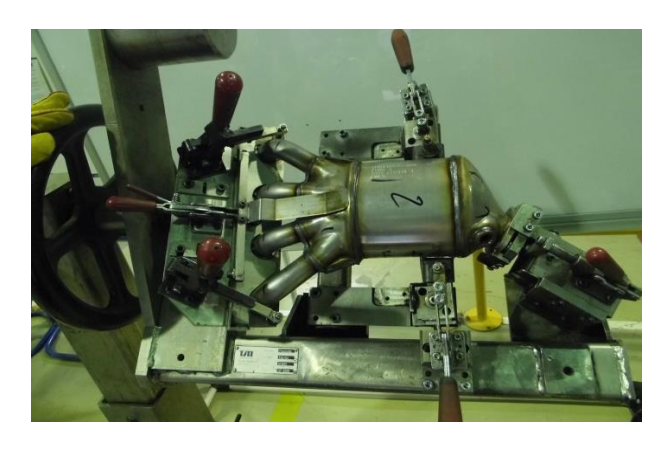


Рисунок 2.17 – Приварка кронштейнов

10. Проверка герметичности. Установить деталь на стенд для испытания. Герметизируйте две резьбовые втулки быстросъемными пробками (рис.2.18). Для запуска измерения нажать кнопку пневмораспределителя.



Рисунок 2.18 – Проверка герметиности

11. Стенд проверки геометрии. Взять деталь с предыдущей операции. Установить деталь на стенде, зафиксировать прижимом (рис. 2.19). Нажать и удерживать кнопки двумя руками до полного прижатия верхнего фланца к базовой поверхности. Для демонтажа детали нажмите кнопку «Open reset». Удерживайте сенсорные кнопки двумя руками до возвращения гидроприжимов в исходное положение. Откройте прижим придерживая деталь правой рукой за выпускной фланец. Передайте деталь на следующую операцию.



Рисунок 2.19 – Стенд проверки геометрии

12. Финальный контроль. Взять деталь из межоперационного накопителя, положите на рабочий стол. Устранить сварочные брызги на функциональной поверхности. Проверить отверстия фланца при помощи калибра. Проверить выступающий сварочный шов за края кронштейна и область вокруг швов. Перевернуть деталь на другую сторону. Устранить сварочные брызги в области отверстий. Проверить поверхность верхней втулки. Взять деталь с рабочего стола и повесить на специальный держатель.

3 Безопасность и экологичность технического объекта

3.1 Технологическая характеристика объекта

Таблица 3.1 - Технологический паспорт объекта

Технологическая	Наименован	Оборудование,	Материалы,
операция, вид	ие	устройство,	вещества
выполняемых	должности	приспособление.	
работ	работника,		
	выполняющ		
	его		
	технологич		
	еский		
	процесс,		
	операцию		
1. Входной	Инспектор	Полукорпуса, втулка,	
контроль	входного	фланец, обечайки,	
	контроля	конус	
2. Сварка верхнего	Оператор	Робот Yaskawa	Воздух сжатый,
полукорпуса со		Motoman HP 20 D,	сварочная
втулкой конуса;		сварочный инвертор	проволока,
С втулкой и		Fronius TPS 4000	газовая смесь
выпускным			«Кронигон-2»
фланцем			
3. Сборка и	Срариция	Сваронний инвартар	Сраронная
	Сварщик	Сварочный инвертор Fronius TPS 3200	Сварочная
прихватка верхнего узла		110mus 11 5 5200	проволока,
Depiniero y sina			1430Bull Chicob

			«Кронигон-2»
4. Сварка трубок к	Оператор	Робот Yaskawa	Воздух сжатый,
фланцу		Motoman HP 20 D,	сварочная
		сварочный инвертор	проволока,
		EWM Tetrix 300 TM	газовая смесь
			«Кронигон-2»
5. Обварка	Сварщик	Сварочный инвертор	Сварочная
верхнего узла		Fronius TPS 3200	проволока,
			газовая смесь
			«Кронигон-2»
6. Проверка	Сварщик	Стенд проверки	Воздух сжатый
плоскости		плоскостности	
приемного фланца			
7. Сварка верхнего	Сварщик	Сварочный инвертор	Сварочная
узла с корпусом		Fronius TPS 3200	проволока,
нейтрализатора в			газовая смесь
сборе			«Кронигон-2»
8. Приварка	Сварщик	Сварочный инвертор	Сварочная
конуса в сборе к		Fronius TPS 3200	проволока,
корпусу			газовая смесь
нейтрализатора			«Кронигон-2»
9. Приварка	Сварщик	Сварочный инвертор	Сварочная
кронштейнов		Fronius TPS 3200	проволока,
			газовая смесь
			«Кронигон-2»

10. Проверка	Сварщик	Стенд проверки	Воздух сжатый
герметичности		герметичности,	
		компрессор, баллон	
11. Проверка	Сварщик	Стенд проверки	
геометрии		геометрии	
12.Финальный	Сварщик	Контрольный калибр	
контроль			

3.2 Идентификация персональных рисков

Таблица 3.2 – Идентификация профессиональных рисков

Опасный и /или вредный	Источник
производственный фактор	опасного и / или
	вредного
	производственн
	ого фактора
2	3
	*

Продолжение таблицы

1. Входной	- острые кромки, заусенцы и	Камера
контроль	шероховатость на поверхностях	помывочная,
	заготовок, инструментов и оборудования	камера
	- движущиеся машины и механизмы;	сушильная
	подвижные части производственного	Сушильная
	оборудования	
2. Сварка верхнего	- острые кромки, заусенцы и	Робот Yaskawa
полукорпуса со	шероховатость на поверхностях	Motoman HP
втулкой конуса;	заготовок, инструментов и оборудования	20D, заготовки.
	- движущиеся машины и механизмы;	,
С втулкой и	подвижные части производственного	
выпускным	оборудования	
фланцем	- повышенное значение напряжения в	
	электрической цепи, замыкание которой	
	может произойти через тело человека	
	- повышенная температура поверхностей	
	оборудования, материалов	
	- повышенный уровень	
	ультрафиолетового излучения	
	- повышенный уровень инфракрасного	
	излучения	

3. Сборка и прихватка верхнего узла	- острые кромки, заусенцы и шероховатость на поверхностях заготовок, инструментов и оборудования - движущиеся машины и механизмы;	Сварочный инвертор Fronius TPS
	подвижные части производственного оборудования	3200, заготовки.
	- повышенное значение напряжения в электрической цепи, замыкание которой может произойти через тело человека	
	- повышенная температура поверхностей оборудования, материалов	
	- повышенный уровень ультрафиолетовой излучения	
	- повышенный уровень инфракрасной излучения	
4. Сварка трубок к	- острые кромки, заусенцы и	Сварочный
фланцу	шероховатость на поверхностях заготовок, инструментов и оборудования	инвертор
	- движущиеся машины и механизмы; подвижные части производственного	Fronius TPS 3200,
	оборудования	заготовки.
	- повышенное значение напряжения в электрической цепи, замыкание которой может произойти через тело человека	
	- повышенная температура поверхностей оборудования, материалов	
	- повышенный уровень ультрафиолетового излучения	
	- повышенный уровень инфракрасного излучения	

Продолжение таблицы

5. Обварка	- острые кромки, заусенцы и	Сварочный
верхнего узла	шероховатость на поверхностях заготовок, инструментов и оборудования - движущиеся машины и механизмы; подвижные части производственного оборудования - повышенное значение напряжения в электрической цепи, замыкание которой может произойти через тело человека - повышенная температура поверхностей оборудования, материалов - повышенный уровень ультрафиолетового излучения - повышенный уровень инфракрасного излучения	инвертор Fronius TPS 3200, заготовки.
6. Проверка плоскости приемного фланца	 острые кромки, заусенцы и шероховатость на поверхностях заготовок, инструментов и оборудования движущиеся машины и механизмы; подвижные части производственного оборудования 	Заготовки, стенд проверки плоскостности.

7 Charge partitions	OCTALIA MAGMUL POMOATHILLU	Сваронный
7. Сварка верхнего	- острые кромки, заусенцы и	Сварочный
узла с корпусом	шероховатость на поверхностях	инвертор
нейтрализатора в	заготовок, инструментов и оборудования	Fronius TPS
	- движущиеся машины и механизмы;	3200,
сборе	подвижные части производственного	заготовки.
	оборудования	
	- повышенное значение напряжения в	
	электрической цепи, замыкание которой	
	может произойти через тело человека	
	- повышенная температура поверхностей	
	оборудования, материалов	
	Haby wayyy y y ypapayy	
	- повышенный уровень	
	ультрафиолетового излучения	
	- повышенный уровень инфракрасного	
	излучения	
8. Приварка	- острые кромки, заусенцы и	Сварочный
	шероховатость на поверхностях	_
конуса в сборе к	заготовок, инструментов и оборудования	инвертор
корпусу	our cropon, interpy mental it coopy dobumin	Fronius TPS
нейтрализатора	- движущиеся машины и механизмы;	3200,
нситрализатора	подвижные части производственного	заготовки.
	оборудования	
	- повышенное значение напряжения в	
	электрической цепи, замыкание которой	
	может произойти через тело человека	
	- повышенная температура поверхностей	
	оборудования, материалов	
	- повышенный уровень ультрафиолетовой	
	излучения	
	- повышенный уровень инфракрасной	
	излучения	

9. Приварка	- острые кромки, заусенцы и	Сварочный
кронштейнов	шероховатость на поверхностях	инвертор
Kponimi oni ob	заготовок, инструментов и оборудования	Fronius TPS
	- движущиеся машины и механизмы;	3200,
	подвижные части производственного	заготовки.
	оборудования	
	- повышенное значение напряжения в	
	электрической цепи, замыкание которой	
	может произойти через тело человека	
	- повышенная температура поверхностей	
	оборудования, материалов	
	- повышенный уровень	
	ультрафиолетового излучения	
	- повышенный уровень инфракрасного	
	излучения	
10. Проверка	- острые кромки, заусенцы и	Заготовки,
герметичности	шероховатость на поверхностях	Стенд
термети шости	заготовок, инструментов и оборудования	проверки
	- движущиеся машины и механизмы;	герметичности
	подвижные части производственного	
	оборудования	
11. Проверка	- острые кромки, заусенцы и	Заготовки,
геометрии	шероховатость на поверхностях	Стенд
Теометрии	заготовок, инструментов и оборудования	
	- движущиеся машины и механизмы;	проверки
	подвижные части производственного	геометрии
	оборудования	
12. Финальный	- острые кромки, заусенцы и	Заготовки,
KOUTDOIL	шероховатость на поверхностях	калибр
контроль	заготовок, инструментов и оборудования	καπηορ
	- движущиеся машины и механизмы;	
	подвижные части производственного	
	оборудования	

3.3 Методы и средства снижения профессиональных рисков

Таблица 3.3 - Методы и средства снижения воздействия опасных и вредных производственных факторов

Опасный и / или вредный производственный фактор	Организационные методы и технические средства защиты,	Средства индивидуальной
	снижения, устранения опасного или вредного	защиты работника
	производственного фактора	
1	2	3
1. Острые кромки, заусенцы	Инструктаж по технике	Перчатки,
и шероховатость на	безопасности	спецодежда.
поверхностях заготовок,		
инструментов и		
оборудования		
2. Движущиеся машины и	Предостерегающие надписи,	-
механизмы; подвижные	соответствующая окраска,	
части производственного	ограждения	
оборудования		
3. Повышенная температура	Инструктаж по технике	Спецодежда,
поверхностей оборудования,	безопасности	перчатки
материалов		
4. Повышенное значение	Заземление электрических	-
напряжения в электрической	машин. Периодический	
цепи, замыкание которой	контроль изоляции.	
может произойти через тело		
человека		
5. Повышенный уровень	Экранирование места сварки	Спецодежда, маска
ультрафиолетового	щитами,	сварщика
излучения		
6. Повышенный уровень	Экранирование места сварки	Спецодежда, маска
инфракрасного излучения	щитами,	сварщика

3.4 Обеспечение пожарной безопасности

Таблица 3.4 - Идентификация классов и опасных факторов пожара

Участок, подраз-	Оборудо- вание	Класс пожара	Опасные факторы пожара	Сопутствующие проявления факторов пожара
деление				
Участок роботизированной сварки	Робот Yaskawa Motoman HP 20D	пожары, связанные с воспламенением и горением веществ и материалов электроустановок, находящихся под электрическим напряжением (E)	Пламя и искры; тепловой поток; повышенная температура окружающей среды; повышенная концентрация токсичных продуктов горения и термического разложения; пониженная концентрация кислорода; снижение видимости в дыму	вынос (замыкание) высокого электрического напряжения на токопроводящие части технологических установок, оборудования, агрегатов, изделий и иного имущества; термохимические воздействия используемых при пожаре огнетушащих веществ на предметы и людей при пожаре

Таблица 3.5 - Технические средства обеспечения пожарной безопасности

Ящики с песком, кошма, огнетушитель ОУ-1	Первичные средства пожаротушения
Пожарные автомобили (вызываются)	Мобильные средства пожаротушения
-	Стационарные установки системы пожаротушения
-	Средства пожарной автоматики
Краны пожарные напорные пожарные рукава	Пожарное оборудование
План эвакуации	Средства индивидуальной защиты и спасения людей при пожаре
Лопата, багор, топор	Пожарный инструмент
Телефон в помещении начальника участка, кнопка извещения о пожаре	Пожарные сигнализация, связь и оповещение.

Таблица 3.6 – Организационные (организационно-технические) мероприятия по обеспечению пожарной безопасности

Наименование	Наименование	видов	Предъявляемые
технологического	реализуемых		требования по
процесса,	организационных		обеспечению пожарной
оборудования,	(организационно-		безопасности,
технического объекта	технических)		реализуемые эффекты
	мероприятий		

Роботизированная	обучение рабочих и служащих	На участке необходимо
сварка	правилам пожарной	иметь первичные
	безопасности, применение	средства
	средств наглядной агитации	пожаротушения в
	по обеспечению пожарной	достаточном
	безопасности, проведение	количестве, должны
	учений с производственным	быть защитные экраны,
	персоналом по поводу	ограничивающие разлет
	пожарной безопасности	искр.

3.5 Обеспечение экологической безопасности технологического объекта

Таблица 3.7 – Идентификация экологических факторов технического объекта

Наименование технологического процесса	Структурные составляющие технологического процесса	Воздействие технического объекта на атмосферу	Воздействие технического объекта на атмосферу	Воздействие технического объекта на литосферу
Роботизированная сварка	Подготовка, сборка, сварка	Вредные газообразные вещества от сварки	Слив воды охлаждения	упаковка от проволоки бумажная и полиэтиленовая; металлолом, преимущественно стальной; бытовые отходы, отработанные масла

Таблица 3.8 – Разработанные организационно-технические мероприятия по снижению негативного антропогенного воздействия технического объекта на окружающую среду

Наименование	Сварка каталитического коллектора
технического	
объекта	

Мероприятия	ПО	Установка контейнеров для селективного сбора бытовых
снижению		производственных отходов, отдельный контейнер для
негативного		металлолома, соответствующие надписи на них,
антропогенных		инструктаж среди производственного персонала, как
воздействий	на	правильно складывать в контейнера мусор, отходы.
почву		
Мероприятия	по	Сбор отработанных масел для последующей
снижению		переработки. Очистное оборудование на системе сброса
негативного		сточных вод. Уменьшение объема сточных вод.
антропогенных		
воздействий	на	
воду		
Мероприятия	ПО	Distraction of the contraction o
	ПО	Вытяжки над каждым постом, соединённые с системой
снижению		фильтрации воздуха. Контроль выбросов в окружающую
негативного		среду.
антропогенных		
воздействий	на	
атмосферу		

3.6 Заключение по разделу

В ходе выполнения данного раздела были выявлены опасные и вредные производственные факторы при роботизированной сварке каталитического коллектора.

Сделан анализ возможности их устранения и уменьшения, который показал, что использование стандартных средств обеспечения безопасности и санитарии производства вполне обеспечит безопасность работника при

реализации предложенных технологических решений.

Разработка специальных и дополнительных средств защиты не требуется. Имеет отрицательное влияние на окружающую среду. Поэтому необходимо соблюдение технологического регламента и производственной санитарии.

4 ЭКОНОМИЧЕСКИЙ РАЗДЕЛ

По базовому варианту сварку производят вольфрамовым неплавящимся электродом в среде защитных газов. В проектном варианте предлагается использовать сварку плавящимся электродом в среде защитных газов. Это позволяет получить экономический эффект за счёт:

- 1. Значительного увеличения производительности труда;
- 2. Уменьшения уровня доработки изделия;
- 3. Более высокой скорости сварки.

Расчёт производим только по изменяющимся показателям технологического процесса.

Таблица 4.1 – Таблица исходных данных

№	Наименование	Базовый вариант	Проектный
242	показателей		вариант
1.	Годовая программа выпуска	50000 шт.	50000 шт.
1.	изделий, шт.		
2.	Коэффициент отчислений на	36,6	36,6
2.	социальные нужды, %		
3.	Цена сварочных материалов,	140руб/кг	183,07руб/кг
3.	руб/кг.		
4.	Цена защитного газа, руб/м ³	184 руб/м ³	184 руб/м ³
5.	Норма расхода сварочной	0,113	0,11
<i>J</i> .	проволоки, кг/дет		
6.	Норма расхода СО2,	60,6	40,1
0.	л/деталь		
7.	Цена оборудования, руб.	12000000 руб.	6000000 руб.
8.	Цена инструмента, руб.	1000 руб.	1000 руб.
9.	Цена приспособлений, руб	1600000 руб.	1400000 руб.

	Норма амортизации на	3	3
10.	производственные площади,		
	%		
11.	Норма амортизации на	20	20
11.	оборудование,%		
12.	Стоимость электроэнергии,	2,5	2,5
12.	руб/кВт		
	Коэффициент доплат к	1,8	1,8
13.	основной заработной плате,		
	%		

4.1 РАСЧЕТ НОРМЫ ШТУЧНОГО ВРЕМЕНИ НА ВЫПОЛНЯЕМЫЕ

ТЕХНОЛОГИЧЕСКИЕ ОПЕРАЦИИ

$$t_{\text{IIIT}} = t_{\text{маш}} + t_{\text{всп}} + t_{\text{обсл}} + t_{\text{отл}} + t_{\text{п-3}},$$
 (4.1)

где $t_{\text{маш}}$ – машинное время;

 $t_{\text{всп}}$ – вспомогательное время, $t_{\text{всп}}$ =15% от $t_{\text{маш}}$;

 $t_{\text{обсл}}$ – время обслужив. оборудования, рабочего места, $t_{\text{обсл}}$ =8% от $t_{\text{маш}}$;

 $t_{\text{отл}}$ – время на личный отдых рабочего, $t_{\text{отл}}$ = 5% от $t_{\text{маш}}$;

Таблица 4.2.1 – Расчёт штучного времени базовый вариант

Операции	t _o ,	t _{отл} ,	t _{всп} ,	t _{обсл} ,	t _{IIIT} ,
	МИН	5%	15%	8%	МИН
Сварочная	6,88	20,63	61,88	33,01	8,8

Таблица 4.2.2 – Расчёт штучного времени проектный вариант

Операции	to,	t _{отл} ,	t _{всп} ,	t _{обсл} ,	t _{шт} ,
	МИН	5%	5%	8%	МИН
Сварочная	5,21	15,63	15,63	25,01	6,2

4.2 РАСЧЕТ КАПИТАЛЬНЫХ ВЛОЖЕНИЙ В ОБОРУДОВАНИЕ

Общие капитальные вложения в оборудование:

$$K_{\text{OOII.}} = K_{\text{Пр.}} + K_{\text{COII.}} \tag{4.2}$$

где $K_{\text{пр.}}$ - прямые капитальные вложения в оборудование, руб.

 $K_{\text{COII.}}$ - сопутствующие капитальные вложения в *приобременное* оборудование, руб.

$$K$$
^{баз}·общ. = $16800000 + 1200000 = 18000000$ руб.

$$K^{\Pi p}$$
. общ. = 5400000 + 1200000 = 6600000 руб.

Прямые капитальные вложения:

$$K_{\Pi p.} = n_{OO.} \cdot \coprod_{OO.} \cdot k_3, \tag{4.3}$$

где $n_{\text{об.}}^{-}$ - количество единиц оборудования, шт.;

Цоб. - цена единицы оборудования, руб.

 $\mathbf{k}_3^{}$ - коэффициент загрузки оборудования.

$$K_{\text{пр.} \text{Баз.}} = 2 \cdot 12000000 \cdot 0.7 = 16800000 \text{ руб.}$$

$$K_{\Pi p. \Pi p.} = 1.6000000 \cdot 0.9 = 5400000$$
 pyб.

Коэффициент загрузки оборудования рассчитывается по формуле:

$$k_3 = \frac{{}^{n}\text{об. расч}}{{}^{n}\text{об. прин}},$$
 (4.4)

где поб.расч - расчетное количество единиц оборудования;

n об. прин - принятое количество единиц оборудования.

Коэффициент загрузки оборудования:

$$k_{3}$$
 Ea_{3} . $=\frac{1.4}{2}=0.7$

$$k_{3\Pi p.} = \frac{0.9}{1} = 0.9$$

$$n_{\text{об. pac ч}} = \frac{N_{\Gamma} \cdot t_{\text{IIIT}}}{\Phi_{3\phi} \cdot 60}$$
 (4.5)

где N_{Γ} – годовая производственная программа выпуска изделий, шт.

Округляя побрасч до ближайшего большего целого числа, получаем

поб прин , т.е. целое число единиц оборудования.

$$n_{\text{об.расч}_{\text{\it Ea3.}}} = \frac{50000 \cdot 8,8}{5411,6 \cdot 60} = 1,4$$
 округляем до 2

$$n_{\text{об.расч}\Pi p.} = \frac{50000 \cdot 6.2}{5411, 6 \cdot 60} = 0,9$$
 округляем до 1

 $\Phi_{
m 3 \phi}$ - эффективный фонд времени работы оборудования, рассчитывается по формуле:

$$ΦэΦ. = (Драб. · Tсм. - Дпред. · Tсокр.) · S · (1-kp.π.)$$
(4.6)

где Драб. - количество рабочих дней в году;

Дпред. - количество предпраздничных дней в году;

Т см - продолжительность рабочей смены, час;

 $T_{\text{сокр.}}$ - сокращенная рабочая смена $(T_{\text{см.}}-1)$, час;

S - количество рабочих смен;

 ${
m k}_{
m p. n.}$ - коэффициент потерь времени работы оборудования на ремонт и переналадку, принимаем .

$$\Phi_{9\Phi} = (246.8 - 7.7) \cdot 3 \cdot (1 - 0.06) = 5411,6 uac.$$

Сопутствующие капитальные вложения для проектного варианта:

$$K_{\text{COII.}} = K_{\text{Дем.}} = 1200000 \text{ py}6.$$
 (4.7)

где $K_{\text{монт}}^{}$ - затраты на монтаж **нового** оборудования, руб.;

К_{лем.} - затраты на демонтаж **старого** оборудования, руб.;

К_{площ.} - *дополнительные* затраты на производственные площади под *новое* оборудование, руб.

$$K_{\text{дем.}} = \Sigma (n_{\text{об.}} \cdot \coprod_{\text{об.}} \cdot k_{\text{дем.}}).$$

$$K_{\text{лем}} = 1 \cdot 6000000 \cdot 0,2 = 1200000 py 6 \tag{4.8}$$

где $k_{\text{дем.}}$. – коэффициент демонтажа, принимаем = 0,2.

$$K_{\text{общ.}}^{\text{баз}} = K_{\text{пр.}}^{\text{баз}} = 12000000 \cdot 0,7 = 8400000 py \delta.$$

$$K_{\text{общ.}}^{\text{пр}} = K_{\text{пр.}}^{\text{пр}} + K_{\text{дем.}} = 6000000 \cdot 0,9 + 6000000 \cdot 0,2 = 6600000$$

Удельные капитальные вложения в оборудование (капитальные вложения на одно изделие) рассчитываются для *двух сравниваемых* вариантов:

$$K_{\text{уд.}}^{\text{баз.}} = \frac{K_{\text{общ.}}^{\text{баз.}}}{N_{\Gamma}} = \frac{8400000}{50000} = 168 \text{руб.}$$
 (4.9)

$$K_{\text{уд.}}^{\text{пр.}} = \frac{K_{\text{общ.}}^{\text{пр.}}}{N_{\Gamma}} = \frac{6600000}{50000} = 133 \, py \delta.$$
 (4.10)

где $K_{\text{общ.}}^{\text{баз.}}$ и $K_{\text{общ.}}^{\text{пр.}}$ - общие капитальные вложения в оборудование по базовому и проектному вариантам соответственно.

Дополнительные капитальные вложения в оборудование рассчитываются для определения *более капиталоемкого варианта*:

$$K_{\text{ДОП.}} = K_{\text{общ.}}^{\text{пр.}} - K_{\text{общ.}}^{\text{баз.}}$$
 (4.11)

$$K_{\text{ДОП}} = 168 - 133 = 35$$
руб.

Расчет показывает, что наиболее капиталоемким является базовый вариант.

5. РАСЧЕТ СЕБЕСТОИМОСТИ СРАВНИВАЕМЫХ ВАРИАНТОВ

5.1. Затраты на материалы.

Затраты на материалы (3М), необходимые для изготовления сварной конструкции рассчитываются по формуле:

$$3M = 3M_{\text{OCH.}} + 3M_{\text{TEXH.}} + 3M_{\text{BCII.}}$$
 (5.1)

Затраты на основной материал рассчитывать не будем, так как ведем расчет только по изменяющимся показателям технологического процесса.

Поэтому,
$$3M = 3M_{\text{техн.}} + 3M_{\text{всп.}}$$

$$3M^{6a3}$$
. = 14,47 + 11 = 25,47 py6.

$$3M^{\Pi p}$$
·c_B. = 13,9+7.4 = 21,3 *py*6.

где ЗМ осн - затраты на основной материал, руб.;

ЗМ техн -затраты на технологические материалы, руб.;

 $3M_{{
m BCH}}$ - затраты на вспомогательные материалы, руб.

Для полуавтоматической сварки и наплавки в среде защитного газа затраты на сварочные материалы складываются из затрат на сварочную проволоку и защитный газ:

$$3M_{CB.} = 3_{CB.\Pi pob.} + 3_{3.\Gamma.}$$

$$3M^{6a3} \cdot c_B = 17,36 + 18,7 = 36,06 \text{ py6}.$$

$$3M^{\Pi p}$$
. c_B. = 26,91+14,7 = 41,61, py δ . (5.2)

где $3_{\text{CB},\Pi\text{DOB}}$ - затраты на сварочную проволоку, руб.;

 $3_{3.\Gamma.}$ - затраты на защитный газ, руб.

Затраты на электроды или сварочную проволоку рассчитываем по формуле:

$$^{\mathrm{M}}$$
 эл.(пр.) $^{\mathrm{H}}$ эл.(пр.) $^{\mathrm{H}}$ эл.(пр.)

$$3M^{6a3...}$$
эл.(пр.) = $0,124 \cdot 140 = 17,36$ руб.

$$3M^{\text{пр.}}$$
эл.(пр.) = $0,147 \cdot 183,07 = 26,91$ руб. (5.3)

где: $H_{\rm ЭЛ.(пр.)}^-$ норма расхода электродов, проволоки или припоя на одно изделие, кг;

 $\coprod_{\ni \pi. (\pi p.)}$ – цена электродов, руб. за 1 кг.

Затраты на защитный газ при сварке и наплавке определяются по формуле:

$$3_{3.\Gamma.} = H_{3.\Gamma.} \cdot \coprod_{3.\Gamma.}$$

 $3^{,6a3} \cdot _{3.\Gamma.} = 101,55 \cdot 184,6 \cdot 10^{-3} = 18,7 \, py 6.$
 $3^{\Pi p} \cdot _{3.\Gamma.} = 79,95 \cdot 184,6 \cdot 10^{-3} = 14,7 \, py 6$

$$(5.4)$$

где $H_{3,\Gamma}$. - норма расхода защитного газа на 1 погонный метр сварного шва, литр/мин.

 $\coprod_{3.\Gamma.}$ - цена защитного газа, руб./м 3 .

Норму расхода защитных газов рассчитывают по формуле:

$$H_{3.\Gamma.} = Y_{3.\Gamma.} \cdot L_{III(B)} + Y_{ДОП}$$
 $H^{6a3} \cdot _{3.\Gamma.} = 42 \cdot 2,4 + 0,75 = 101,55$ литр / мин.
 $H^{\Pi p.}_{3.\Gamma.} = 33 \cdot 2,4 + 0,75 = 79,95$ литр / мин. (5.5)

где $Y_{3,\Gamma}$ - удельная норма расхода защитного газа на 1 погонный метр шва $Y_{\text{ДОП.}}$ - дополнительный расход газа на подготовительно-вспомогательные операции (продувку газовых коммуникаций перед сваркой, защиту электрода и остывающего металла после сварки и настройку режимов), литр/мин.

Удельную норму расхода защитного газа на 1 погонный метр сварного шва или наплавляемого валика можно определить по формуле:

$$Y_{3.\Gamma} = q_{3.\Gamma} \cdot t_{01}$$

$$y^{6a3} \cdot_{3.\Gamma} = 15 \cdot 2,8 = 42 \pi mp / muH$$
 $y^{\Pi p} \cdot_{3.\Gamma} = 15 \cdot 2,2 = 33 \pi mp / muH$ (5.6)

где $q_{3,\Gamma}$ - норма расхода защитного газа при сварке, в зависимости от вида сварки, литр/мин, (см. таблицу 9);

 ${\bf t}_{{\bf 0}1}$ - основное (машинное) время сварки 1 погонного метра шва, (мин).

$$t_{O1} = \frac{t_{O}}{L_{III(B)}}$$

$$t^{\text{Ga3}} \cdot_{O1} = \frac{6,88}{2,4} = 2,8 \text{мин.}.$$

$$t^{\text{IIP}} \cdot_{O1} = \frac{5,21}{2,4} = 2,2 \text{мин.}.$$
(5.7)

где t_0 – основное время сварки (наплавки) изделия.

Дополнительный расход газа, возникающий при продувке шлангов, определяют по формуле:

$$Y_{\text{ДОП.}} = t_{\text{B}}^{\Pi} \cdot q_{3.\Gamma.}$$
 $Y^{\text{баз}} \cdot_{\text{ДОП.}} = 0.05 \cdot 15 = 0.75 \pi mp / muh$
 $Y^{\Pi p} \cdot_{\text{ДОП.}} = 0.05 \cdot 15 = 0.75 \pi mp / muh$ (5.8)

где t_B^Π - вспомогательное время, необходимое для продувки шлангов, мин, (при сварке плавящимся электродом $t_B^\Pi=0{,}05$ мин.).

5.3. Затраты на технологическую электроэнергию

Для дуговой сварки затраты на электроэнергию рассчитывают исходя из полезной мощности оборудования:

$$3_{3-3} = \frac{P_{00} \cdot t_{0}}{\eta \cdot 60} \cdot \coprod_{3-3}$$

$$3^{633} \cdot _{3-3} = \frac{4,4 \cdot 6,88}{0,8 \cdot 60} \cdot 2,5 = 1,57 \, py6.$$

$$3^{\Pi p} \cdot _{3-3} = \frac{4,4 \cdot 5,21}{0.8 \cdot 60} \cdot 2,5 = 1,19 \, py6.$$
(5.9)

где $P_{OO} = I_{CB} \cdot U_{\mathcal{A}}$ - полезная мощность оборудования **КВт**;

ή – коэффициент полезного действия оборудования

 ${\rm I_{CB}}$ - сила сварочного тока, A;

 $\mathbf{U}_{\mathbf{J}}$ – напряжение на дуге, \mathbf{B} ;

 $\coprod_{\mathfrak{Z} o \mathfrak{Z}}$ - цена 1 кВт·часа электроэнергии.

5.4 Затраты на содержание и эксплуатацию

технологического оборудования

$$3_{\text{of}} = A_{\text{of}} + P_{\text{T.p}}$$

 $3^{,633} \cdot \text{of} = 59,13 + 372,53 = 431,66 py6.$
 $3^{\text{TIP}} \cdot \text{of} = 20,83 + 239,48 = 260,31 py6.$ (5.10)

где A_{00}^{-} - амортизационные отчисления на оборудование, руб.;

 ${\bf P}_{{\bf T}.{\bf p}}$ - затраты на текущий ремонт оборудования, руб.;

а) амортизационные отчисления на оборудование:

$$A_{\text{O}6} = \frac{\sum \coprod_{\text{O}6} \cdot H_{\text{a}} \cdot t_{\text{IIIT}}}{\Phi_{\text{9}\phi} \cdot 100 \cdot k_{\text{B.H}}}$$

$$A^{\text{G}a3} \cdot \text{O}6 = \frac{12000000 \cdot 20 \cdot 8.8}{5411.6 \cdot 100 \cdot 1.1 \cdot 60} = 59.13 \text{ py}6.$$

$$A^{\text{IIP}} \cdot \text{O}6 = \frac{6000000 \cdot 20 \cdot 6.2}{5411.6 \cdot 100 \cdot 1.1 \cdot 60} = 20.83 \text{ py}6.$$
(5.11)

где Цоб - цена единицы технологического оборудования, руб.;

 ${
m H_a}\,$ - норма амортизационных отчислений на технологическое оборудование ${
m k_{B.H}}$ - коэффициент выполнения норм = 1,1.

Затраты на текущий ремонт оборудования рассчитываются по формуле:

$$P_{T.p} = \frac{\sum \prod_{o} \frac{H_{T.p} \cdot k_{3}}{\Phi_{o} + 100}}{\frac{100}{5411,6 \cdot 100}}$$

$$P^{6a3} \cdot_{T.p} = \frac{12000000 \cdot 24 \cdot 0,7}{5411,6 \cdot 100} = 372,53$$

$$P^{\Pi p} \cdot_{T.p} = \frac{6000000 \cdot 24 \cdot 0,9}{5411,6 \cdot 100} = 239,48$$
(5.12)

где \coprod_{of} - цена единицы технологического оборудования, руб.;

H_{т.р.} – норма отчислений на текущий ремонт оборудования, принимаем = 24%:

 $\mathbf{k_3}$ - коэффициент загрузки оборудования.

5.5. Затраты на содержание и эксплуатацию сборочно-сварочных приспособлений и рабочего инструмента

Затраты на содержание и эксплуатацию сборочно-сварочных приспособлений как элемента основных фондов предприятия рассчитываем только в том случае, если срок их службы составляет не менее 1 года.

$$3_{\text{прис п.}} = \frac{\coprod_{\text{прис п}} \cdot H_{\text{а прис п}} \cdot k_{3}}{100 \cdot T_{\text{прис п}} \cdot N_{\Gamma}}$$

$$3^{,6a3}_{\text{прис п.}} = \frac{1600000 \cdot 12 \cdot 0.7}{100 \cdot 5 \cdot 50000} = 0.5 \text{ руб.}$$

$$3^{,6a3}_{\text{прис п.}} = \frac{1400000 \cdot 12 \cdot 0.9}{100 \cdot 5 \cdot 50000} = 0.4 \text{ руб.}$$
(5.13)

где: Ц_{присп}- цена используемых сборочно-сварочных приспособлений, руб.;

 $H_{a \text{ прис п.}}$ - норма амортизационных отчислений на приспособления, % (см. таблицу 11);

 $T_{\text{прис}\,\Pi}$ - срок службы приспособлений, лет, (см. таблицу 12).

Затраты на содержание и эксплуатацию рабочего.

$$3_{\text{инстр.}} = \frac{\coprod_{\text{инстр}} \cdot H_{\text{а инстр}} \cdot t_{\text{шт}}}{100 \cdot T_{\text{инстр}} \cdot \Phi_{\text{эф}} \cdot 60}$$

$$3^{\text{баз}} \cdot \text{инстр.} = \frac{1000 \cdot 15 \cdot 8,8}{100 \cdot 2 \cdot 5411, 6 \cdot 60} = 0,01 \text{руб.}$$

$$3^{\text{баз}} \cdot \text{инстр.} = \frac{1000 \cdot 15 \cdot 6.2}{100 \cdot 2 \cdot 5411, 6 \cdot 60} = 0,01 \text{руб.}$$

$$(5.14)$$

где $\coprod_{\text{инстр}}$ - суммарная цена используемого инструмента, руб.;

 $H_{a\ \text{инстр.}}$ - норма амортизационных отчислений на рабочий инструмент, %;

Т_{инстр} - срок службы инструмента, лет.

5.6. Затраты на содержание и эксплуатацию

производственных площадей

$$3_{\text{площ}} = \frac{S_{\text{площ}} \cdot \coprod_{\text{площ}} \cdot Ha_{\text{площ}} \cdot k_{\text{д.пл}} \cdot k_{3}}{100 \cdot N_{\Gamma}}$$

$$3^{\text{пр.}}$$
площ = $\frac{21,33,4500\cdot 3\cdot 2\cdot 0,7}{100\cdot 50000}$ = 0,08 руб.

$$3^{6a3}$$
·площ = $\frac{17,42 \cdot 4500 \cdot 3 \cdot 3 \cdot 0,9}{100 \cdot 50000} = 0,13$ руб. (5.15)

где $S_{\Pi \Pi O \coprod}$ - производственная площадь, занимаемая оборудованием, м²;

 $\mathbf{L}_{\Pi\Pi\Pi\Pi\Pi}$ - цена 1 м² занимаемой производственной площади;

H_{а площ} - норма амортизационных отчислений на производственные площади;

 ${\bf k}_{{\hbox{\scriptsize ДОП.ПЛ.}}}$ - коэффициент, учитывающий дополнительную производственную площадь.

5.7. Затраты на заработную плату основных производственных рабочих с отчислениями на социальные нужды

Фонд заработной платы основных производственных рабочих состоит из основной и дополнительной заработной платы.

$$Φ3Π = 3ΠЛOCH + 3ΠЛДОΠ$$

$$Φ3Π6α3. = 71,3 + 8,5 = 79,8 \text{ py } 6.$$

$$Φ3ΠΠp. = 61,8 + 7,4 = 69,2 \text{ py } 6.$$
(5.16)

а) основная заработная плата определяется по формуле:

$$3\Pi\Pi_{\text{OCH}} = C_{\text{H}} \cdot t_{\text{IIIT}} \cdot k_{3\Pi\Pi}$$

$$3\Pi\Pi^{6a3}$$
·ocH = $130 \cdot 0.3 \cdot 1.828 = 71.3$ py6.

$$3\Pi\Pi^{\Pi p}$$
 och = $130 \cdot 0.26 \cdot 1,828 = 61,8$ py6. (5.17)

где $C_{\rm q}$ - часовая тарифная ставка рабочего, руб./час;

 $t_{\rm IIIT}$ - время изготовления одного изделия, (час);

 $k_{3\Pi\Pi}$ - коэффициент начислений на основную заработную плату.

$$k_{3\Pi\Pi} = k_{\Pi p} \cdot k_{B.H} \cdot k_{y} \cdot k_{\Pi \varphi} \cdot k_{H}$$

$$k_{3\Pi\Pi} = 1,25 \cdot 1,1 \cdot 1,1 \cdot 1,067 \cdot 1,133 = 1,828 \tag{5.18}$$

где $k_{\Pi p} = 1,25 - коэффициент премирования;$

 $k_{B,H} = 1,1 - коэффициент выполнения норм;$

 ${\rm k_y} = 1,1$ – коэффициент доплат за условия труда;

 $k_{\mbox{ пф}} = 1,067 - \mbox{коэффициент доплат за профессиональное мастерство;}$

 ${\rm k_{\,H}}\,=1{,}133$ — коэффициент доплат за работу в вечерние и ночные смены.

Б) дополнительная заработная плата основных производственных рабочих определяется по формуле:

$$3\Pi\Pi_{\text{ДОП}} = \frac{k_{\mathcal{I}}}{100} \cdot 3\Pi\Pi_{\text{ОСН}}$$
 $3\Pi\Pi^{\text{Пр.}}$ доп $= \frac{12}{100} \cdot 71,3 = 8,5$ руб.
 $3\Pi\Pi^{\text{баз.}}$ доп $= \frac{12}{100} \cdot 61,8 = 7,4$ руб. (5.19)

где $k_{\rm Д}$ – коэффициент соотношения между основной и дополнительной заработной платой, % (см. таблицу 13).

Таблица – 5.1 Коэффициент соотношения между основной и дополнительной заработной платой ($\mathbf{k}_{\mathbf{J}}$)

Условия труда	Число смен	k _д (в % к ЗПЛосн.) для основных производственных рабочих
Холодные работы	1 2	8 10
Горячие и тяжелые работы	1 2	10 12
Вредные и особо тяжелые работы	1 2	12 14

К дополнительной заработной плате относятся выплаты работникам предприятия не за фактически отработанное время, а в соответствии с действующим законодательством: оплата очередных и дополнительных отпусков, сокращенного рабочего дня, выполнения государственных обязанностей и т.д.

в) отчисления на социальные нужды рассчитываются по формуле:

$$O_{C.H} = \frac{H_{COII} \cdot \Phi 3\Pi}{100}$$

$$O^{6a3} \cdot _{C.H} = \frac{36.6 \cdot 79.8}{100} = 29.2 py \delta.$$

$$O^{\Pi p} \cdot _{C.H} = \frac{36.6 \cdot 69.2}{100} = 25.3 py \delta.$$
(5.20)

где $H_{\text{соц}}$ – норма отчислений на социальные нужды = 36,6%.

5.8. Технологическая себестоимость изготовления изделия

Рассчитывается по формуле:

$$C_{\text{тех}} = 3\text{M} + 3_{9-9} + 3_{00} + 3_{\text{площ}} + \Phi 3\Pi + O_{\text{с.H}}$$

$$C^{\text{ба3.-}}_{\text{тех}} = 24,47 + 1,57 + 431,66 + 0,08 + 79,8 + 29,2 = 566,78 \text{ руб}.$$

$$C^{\text{пр.-}}_{\text{тех}} = 21,3 + 1,19 + 260,31 + 0,13 + 69,2 + 25,3 = 377,43 \text{ руб}. \tag{5.39}$$

5.9. Цеховая себестоимость изготовления изделия

$$C_{\text{цех}} = C_{\text{тех}} + P_{\text{цех}}$$
 $C^{\text{ба3}} \cdot_{\text{цех}} = 566,78 + 178,25 = 745,03 \, py \delta.$
 $C^{\text{пр}} \cdot_{\text{цех}} = 377,43 + 154,5 = 531,93 \, py \delta.$ (5.21)

где Р_{цех} - общепроизводственные (цеховые) расходы, руб.

Цеховые (общепроизводственные) расходы относятся к косвенным затратам на изготовление продукции, это накладные расходы по управлению цехом и его обслуживанию.

$$P_{\text{цех}} = k_{\text{цех}} \cdot 3\Pi\Pi_{\text{осн}}$$

 $P^{\text{ба3}} \cdot \text{цеx} = 2,5 \cdot 71,3 = 178,25$ руб.
 $P^{\text{пр}} \cdot \text{цеx} = 2,5 \cdot 61,8 = 154,5$ руб. (5.22)

где $k_{\mbox{\scriptsize цех}}$ - коэффициент общепроизводственных расходов, принимаем = 2,5.

5.10. Производственная (общезаводская) себестоимость

изготовления изделия

$$C_{\Pi DOU3B} = C_{\Pi ex} + P_{\Pi DOU3B}$$

$$C^{\text{ба3}}$$
-произв = 745,03 + 128,34 = 873,37 руб.
 $C^{\text{пр.}}$ -произв = 531,93 + 111,24 = 643,17 *руб*. (5.23)

 $\it где \ P_{\mbox{произв}}$ - общехозяйственные (общезаводские) расходы, руб.

Общехозяйственные (общезаводские) расходы относятся к косвенным затратам на изготовление продукции, это накладные расходы по управлению производством продукции на предприятии и обслуживанию предприятия.

$$P_{\text{произ.}} = k_{\text{произв}} \cdot 3\Pi\Pi_{\text{осн}}$$

$$P^{\text{баз}}$$
-произ. =1,8 · 71,3 =128,34 *руб*.

$$P^{\text{пр.}}$$
произ. =1,8 · 61,8 =111,24 *pyб*. (5.24)

где $k_{\mbox{произв}}$ - коэффициент общехозяйственных расходов, принимаем = 1,8.

Если рассматриваемое изделие представляет собой узел, который входит в состав более крупного изделия, расчет себестоимости заканчиваем *производственной себестоимостью*.

Если рассматриваемое изделие представляет собой законченное изделие, готовое для продажи, то рассчитываем *полную себестоимость*, в которую входят расходы, связанные с реализацией готовой продукции.

5.12. Составление калькуляции себестоимости изделия

Калькуляция — это документ, в котором оформляется расчет себестоимости единицы продукции. Она выражает текущие затраты предприятия в денежной форме на производство и реализацию единицы конкретного вида изделия. В процессе калькулирования все издержки производства группируются по статьям затрат.

На основании произведенных расчетов составляем калькуляцию себестоимости изготовления рассматриваемого изделия (таблица 14) и определяем снижение его себестоимости по формуле:

$$\Delta C_{\Pi O \Pi H} = \frac{C_{\Pi p O U 3}^{\hbox{\scriptsize 633}} - C_{\Pi p O U 3}^{\hbox{\scriptsize \Pi} p}}{C_{\Pi p O U 3}^{\hbox{\scriptsize 633}}} \cdot 100\%$$

$$\Delta C_{\text{ПОЛН}} = \frac{873,37 - 643,17}{873,37} \cdot 100 = 26\%$$
 (5.25)

где $C_{\text{полн}}^{\text{баз}}$ - полная себестоимость изделия по базовому варианту, руб.;

 $C_{\Pi O \Pi H}^{\Pi p}$ - полная себестоимость изделия по проектному варианту, руб.

 Таблица 14

 Калькуляция себестоимости сварки приемного фланца с трубками каталитического коллектора

Статьи затрат	Условные обозначени я	Базовый вариант	Проектный вариант
1. Затраты на материалы за вычетом отходов	3M	25,47	21,3
2. Затраты на электрическую энергию	3 ₉₋₉	1,57	1,19
3. Затраты на содержание и эксплуатацию технологического оборудования	³ об	431,66	260,31
4. Затраты на содержание и эксплуатацию сборочно- сварочных приспособлений	Зприсп	0,5	0,4
5. Затраты на содержание и эксплуатацию рабочего инструмента	З _{инстр}	0,01	0,01
6. Затраты на содержание и эксплуатацию производственных площадей	З _{площ}	0,08	0,13

Продолжение таблицы

7. Затраты на заработную плату основных производственных рабочих (ФЗП)	ФЗП	79,8	69,2
8. Отчисления на социальные нужды	Ос.н	29,2	25,3
Технологическая себестоимость	C _{Tex}	566,78	377,43
Общепроизводственные (цеховые) расходы	Рцех	178,25	154,5
Цеховая себестоимость	Сцех	745,03	531,93
Общехозяйственные (общезаводские) расходы	Р _{произв}	128,34	111,24
Производственная себестоимость	Спроизв	873,37	643,17
Потери на брак, %		17,46	1,9
Производственная себестоимость изделия с учетом потерь от брака	Спроизв	890,83	645,07

6. РАСЧЕТ ПОКАЗАТЕЛЕЙ ЭКОНОМИЧЕСКОЙ ЭФФЕКТИВНОСТИ ПРЕДЛАГАЕМОГО ПРОЕКТА

6.1 Расчет ожидаемой прибыли от снижения себестоимости

изготовления продукции

В результате внедрения в технологический процесс более прогрессивного оборудования, повышается качество сварки, процент брака снижается с 2% до 0,3%.

Если изделие с применением данной технологии изготавливается полностью *и готово для продажи потребителю*, то необходимо рассчитать налог на прибыль по формуле:

$$H_{\Pi p} = \Pi p_{O \mathcal{K}} \cdot k_{H \partial \Pi}$$
 $H_{\Pi p} = 55178500 \cdot 0,24 = 13242840$ руб (6.1)

где $k_{\mbox{\scriptsize Ha}\mbox{\scriptsize I}}$ – коэффициент налогообложения на прибыль (принимаем = 0,24).

Чистая прибыль от снижения себестоимости продукции рассчитывается по формуле:

$$\Pi p_{\text{YUCT}} = \Pi p_{\text{OW}} - H_{\Pi p}$$

$$\Pi p_{\text{YUCT}} = 55178500 - 13242840 = 41935660 py 6. \quad (6.2)$$

6.2 Годовой экономический эффект

от внедрения в технологический процесс нового оборудования

Рассчитываем по формуле:

$$\boldsymbol{\vartheta}_{\Gamma} = \!\! \left[\! \left(\boldsymbol{C}_{\Pi \boldsymbol{O} \boldsymbol{J} \boldsymbol{H}}^{\boldsymbol{\delta} \boldsymbol{a} \boldsymbol{3}} + \boldsymbol{E}_{\boldsymbol{H}} \cdot \boldsymbol{K}_{\boldsymbol{y} \boldsymbol{\mathcal{I}}}^{\boldsymbol{\delta} \boldsymbol{a} \boldsymbol{3}} \right) \! - \! \left(\boldsymbol{C}_{\Pi \boldsymbol{O} \boldsymbol{J} \boldsymbol{H}}^{\boldsymbol{\Pi} \boldsymbol{p}} + \boldsymbol{E}_{\boldsymbol{H}} \cdot \boldsymbol{K}_{\boldsymbol{y} \boldsymbol{\mathcal{I}}}^{\boldsymbol{\Pi} \boldsymbol{p}} \right) \right] \! \cdot \boldsymbol{N}_{\Gamma}$$

$$\mathfrak{I}_{\Gamma} = [(890, 83 + 0.33 \cdot 168) - (645, 07 + 0.33 \cdot 133)] \cdot 50000 = 12865500 \, py \delta. \tag{6.3}$$

где E_H — нормативный коэффициент сравнительной экономической эффективности. В сварочном производстве E_H = 0,33;

 $C_{\Pi O J H}^{f a 3}$ и $C_{\Pi O J H}^{f p}$ - полная себестоимость продукции (базовая и проектная), т.е. до и после внедрения нового оборудования, руб.

Ожидаемая прибыль от снижения себестоимости продукции (условно-годовая экономия) рассчитывается по формуле:

$$\Pi p_{\text{OЖ}} = \left(C_{\text{ПРОИЗ}.}^{633} - C_{\text{ПРОИЗ}.}^{\Pi p} \right) \cdot N_{\Gamma}$$

$$\Pi p_{\text{OЖ}} = (890,83 - 645,07) \cdot 50000 = 12288000 \tag{6.4}$$

6.3 Срок окупаемости капитальных вложений

Срок окупаемости капитальных вложений рассчитывается в том случае, если выполняется неравенство:

 $K_{y Д}^{\hbox{\it ба3}} < K_{y Д}^{\hbox{\it пp}},$ (т.е. проектный вариант является более капиталоемким).

$$T_{\text{ок}} = \frac{K_{\text{общ}}^{\text{пр}}}{\Pi_{\text{р}_{\text{чист}}}}, (\text{лет})$$

$$T_{\text{ок}} = \frac{6600000}{41935660} \approx 1 \text{ год}$$
(6.5)

Эффективность затраченных на внедряемое мероприятие средств можно определить, рассчитав коэффициент сравнительной экономической эффективности (${\rm E}_{
m cp}$).

Данный коэффициент является величиной обратной сроку окупаемости капитальных вложений:

$$E_{cp} = \frac{1}{T_{OK}}$$

$$E_{cp} = \frac{1}{1} = 1 \tag{6.6}$$

 $E_{cp} > E_{H}$, значит внедряемое мероприятие эффективно.

Если выполняется неравенство $E_{cp} > E_{H}$, то внедряемое мероприятие эффективно. Если $E_{cp} < E_{H}$, то внедряемое мероприятие неэффективно.

7. РАСЧЕТ СНИЖЕНИЯ ТРУДОЁМКОСТИ И ПОВЫШЕНИЯ ПРОИЗВОДИТЕЛЬНОСТИ ТРУДА

В ПРОЕКТНОМ ВАРИАНТЕ ИЗГОТОВЛЕНИЯ ИЗДЕЛИЯ

Замена технологического процесса сварки изделия на более производительный ведет к снижению трудоемкости выполнения работ. Для определения эффективности предлагаемой технологии, необходимо рассчитать величину снижения трудоемкости ($\Delta t_{\rm HIT}$).

Расчет производим по формуле:

$$\Delta t_{\text{IIIT}} = \frac{t_{\text{IIIT}}^{6a3} - t_{\text{IIIT}}^{\Pi p}}{t_{\text{IIIT}}^{6a3}} \cdot 100 \%$$

$$\Delta t_{\text{IIIT}} = \frac{8.8 - 6.2}{8.8} \cdot 100 = 30\%$$
(7.1)

где $t_{\rm IIIT}^{6a3}$ – штучное время изготовления изделия по базовому варианту, мин; $t_{\rm IIIT}^{\Pi p}$ – штучное время изготовления изделия по проектному варианту, мин.

Перечислить все причины, по которым происходит снижение трудоёмкости изготовления данного изделия.

При снижении трудоемкости изготовления изделия на некоторую величину, обязательно происходит повышение уровня производительности труда на несколько большую величину, поскольку трудоемкость

изготовления продукции и уровень производительности труда являются величинами обратными, но не пропорциональными.

Поэтому, исходя из значения величины снижения трудоемкости изготовления изделия, рассчитываем повышение производительности труда ($\Delta\Pi T$):

$$\Delta\Pi T = \frac{100 * \Delta t_{\text{IIIT}}}{100 - \Delta t_{\text{IIIT}}} (\%)$$

$$\Delta\Pi T = \frac{100 * 30}{100 - 30} = 43 (\%)$$
(7.2)

Заключение

В ходе выполнения бакалаврской работы были проанализированы способы сварки неплавящимся вольфрамовым электродом и плавящимся электродом в среде защитных газов и, было выявлено, что при сварке вольфрамовым неплавящимся электродом не удается соответствовать требованиям чертежа.

В проекте проанализированы опасные и вредные факторы при сварке плавящимся электродом в среде защитных газов и разработаны мероприятия по их снижению.

В дипломе произведен расчет затрат на проведения производственных работ и рассчитана экономическая эффективность предлагаемых мероприятий.

3 Список используемых источников

- 1. Корпус нейтрализатора с запрессованным в него керамическим блоком [Электронный ресурс] // Яндекс: [поисковая система]. Режим доступа: http://link.ac/5gei2, свободный. Загл. с экрана (дата обращения 11.04.2016)
- 2. Марочник стали и сплавов [Электронный ресурс] : [сайт]. М., 2003. Режим доступа: http://splav-kharkov.com/main.php, свободный. Загл. с экрана (дата обращения: 17.05.2016).
- 3. Манипулятор Yaskawa Motoman HP20 [Электронный ресурс] // Яндекс: [поисковая система]. Режим доступа: http://link.ac/5geK7, свободный. Загл. с экрана (дата обращения 11.04.2016)
- 4. Инверторный аппарат для сварки постоянным током Tetrix 300TM [Электронный ресурс] // Tetrix International : [официальный сайт]. Режим доступа: https://clck.ru/9v4nz, свободный. Загл. с экрана (дата обращения 11.04.2016)
- 5. Конструкционные материалы [Текст]: Справочник / Б.Н. Арзамасов [и др.]. – М.: Машиностроение, 1990. – С.688
- 6. Краснопевцева И.В Методическое пособие по выполнению экономической части дипломного проекта [Текст] / И.В.Краснопевцева Тольятти, 2015, С.21
- 7. Горина Л.Н Раздел выпускной квалификационной работы «Безопасность и экологичность технического объекта» [Текст] уч.-метод. пособие. / Л.Н Горина., М.И. Фесина- Тольятти, 2016, 36с.
- 8. ГОСТ 12.1.033-81. ССБТ. Пожарная безопасность. Термины и определения [Текст]. -Введ. 1982-01-07.- М.: Государственный комитет по стандартам, 1981-VII, 11с.
- 9. ГОСТ 12.0.003-74. (СТ СЭВ 790-77) Опасные и вредные производственные факторы [Текст]. Введ 1976-01-05.- М. : Межгосударственный стандарт, 1974-ХІ, Переиздание (сентябрь 1999 г.) с Изменением № 1, утвержденным в октябре 1978 г.,3с.

- 10. Нормативный документ «Порядок производства электронных учебных изданий». Тольяттинский Государственный Университет 2014 г.
- 11. Beebe-Cente r J. G., Roger s M. S., O'Conell D. N. Transmission of information about sucrose and saline solutions through the sense of taste // J. Psychol., 1966, 39, p. 167—160.
- 12. Bousfiel d W. A., Cohen B. H. The occurrence of clustering in the recall of randomly arranged words of different frequencies-ofusage // J. gen. Psychol., 1965, 62, p. 83—96.
- 13. Егоров А.Г. Правила оформления выпускных квалификационных работ по программам подготовки бакалавра и специалиста [Текст] учеб. метод. пособие / А.Г. Егоров, В.Г. Виткалов, Г.Н. Уполовникова, И.А. Живоглядова Тольятти, 2012, С.135
- 14. ГОСТ 12.0.003-74. (СТ СЭВ 790-77) Опасные и вредные производственные факторы [Текст]. Введ 1976-01-05.- М. :
 Межгосударственный стандарт, 1974-ХІ, Переиздание (сентябрь 1999 г.) с
 Изменением № 1, утвержденным в октябре 1978 г.,3с.
- 15. Prensky M. Digital Natives, Digital Immigrants // On the Horizon. MCB University Press: 1. Vol. 9, N 5. October, 2001.
- 16. 4.Palfrey J., Gasser U. Born Digital: Understanding the First Generation of Digital Natives. 2. NY, 2008
- 17. Потапьевский, А.Г. Сварка в защитных газах плавящимся электродом. Часть 1. Сварка в активных газах. Издание 2-е, переработанное. К.: «Екотехнологія», 2007. 192 с.
- 18.Потапьевский, А.Г. Сварка сталей в защитных газах плавящимся электродом. Техника и технология будущего: монография / А.Г. Потапьевский, Ю.Н. Сараев, Д.А. Чинахов. Томск: Издательство Томского политехнического унивеситета, 2012. 208 с.

- 19. Ленивкин В. А., Дюргеров Н. Г., Сагиров Х. Н. Технологические свойства сварочной дуги в защитных газах. М.: Машиностроение, 1989. 264 с.
- 20. Сапожков, С.Г. Исследование взаимодействия брызг расплавленного металла с поверхностью свариваемого изделия и разработка средств снижения набрызгивания при сварке в СО₂: Диссертация на соискание учёной степени кандидата технических наук. Юрга: Томский политехнический университет. 1999.